

## บทที่ 1

### บทนำ

#### 1. บทนำหัวเรื่อง

ความเจริญเติบโตทางเศรษฐกิจ การขยายตัวด้านอุตสาหกรรม และการคมนาคมบนส่าง เป็นสาเหตุสำคัญให้มีการใช้เชื้อเพลิงและวัตถุคิดต่างๆ เป็นจำนวนมาก ก่อให้เกิดการปลดปล่อย สารมลพิษในสภาพกําชหรืออนุภาคแขวนลอยของมลภาวะร้ายกาศ รวมทั้งสารมลพิษที่เป็นสาเหตุ หลักในการเกิดเป็นกรด อาย่างในไนโตรเจนออกไซด์ ( $\text{NO}_x$ ) และซัลเฟอร์ไดออกไซด์ ( $\text{SO}_2$ ) ซึ่งเกิด จากกระบวนการผลิต ในอุตสาหกรรมที่มีในไนโตรเจนและกำมะถันเป็นส่วนประกอบของวัตถุคิด หรือเกิดจากการเผาผลิตภัณฑ์เชื้อเพลิงที่เกิดจากชาบะฟิชและชาบะสัตว์ที่เรียกว่าฟอสซิล (Fossil fuel) สารมลพิษเหล่านี้สามารถแพร่ออกไปโดยการพา และการพุ่งกระเจาไปกับกระแสลม เกิดการ รวมตัวกันลง จับตัวกับฝุ่นละอองหรือกําชและอนุภาคแขวนลอยอื่นๆ หรือจับตัวกับก้อนเมฆ เดินทางไปในอากาศได้เป็นร้อยเป็นพันกิโลเมตร เมื่อทำปฏิกิริยากับไนโตรเจนในอากาศ เกิดเป็นกรด ในตริก ( $\text{HNO}_3$ ) และกรดซัลฟิวริก ( $\text{H}_2\text{SO}_4$ ) ก่อให้เกิดปัญหาฝนกรดได้แม้ในคืนเดนที่ห่างไกลจาก แหล่งกำเนิด จึงเกิดเป็นปัญหามลพิษ ไว้พร้อมแค่นี้ จนกระทั่งตกลงสู่พื้นโลกตามกระบวนการ ทางธรรมชาติในที่สุด      **เรียกว่าการตกสะสมของกรดจากบรรยายกาศ (Atmospheric acid deposition)** เมื่อตกมาขังผิวโลกในลักษณะที่แห้งคืออยู่ในสภาพกําชหรืออนุภาคเรียกว่าการตก สะสมกรดแห้ง (Acid dry deposition) เมื่อตกลงมาโดยการป่นเปื้อนมากับน้ำฝน หินะ น้ำค้าง หรือหนอง ก็เรียกว่าการตกสะสมกรดเปียก (Acid wet deposition) หรือที่รู้จักกันดีในชื่อฝนกรด ก่อให้เกิดผลกระทบต่อสิ่งแวดล้อมในหลายๆ ด้าน ทั้งต่อทรัพยากรธรรมชาติ สิ่งก่อสร้าง และตัว มนุษย์ ตัวอย่างเช่น ส่งผลกระทบต่อความเจริญเติบโตของต้นไม้ ทำให้สภาพป่าไม้ลัดลง หรือเกิดผลกระทบต่อ ด้านเกษตรกรรม เกิดสภาพความเป็นกรดของดินและแหล่งน้ำ ก่อให้เกิดผลกระทบต่อ ระบบนิเวศวิทยา เกิดการผุกร่อนของสิ่งก่อสร้าง และเกิดผลกระทบต่อสุขภาพร่างกายของมนุษย์ ทำให้ระบบทางเดินหายใจของมนุษย์ถูกทำลายและเกิดปัญหาแก่ปอด เป็นสาเหตุของการเกิดโรค ถุงลมปอดอักเสบเรื้อรัง โรคถุงลมโป่งพอง และโรคระบบทางเดินหายใจ ผลกระทบจากปัญหา ฝนกรดไม่ได้เกิดขึ้นในทันทีทันใด แต่จะค่อยๆ เป็นไปอย่างช้าๆ จากการสะสมมาเป็นระยะเวลา หลายปี (Loading effect) ขึ้นอยู่กับความไวของตัวรับหรือแหล่งรับ การทดสอบของกรดจึง กลาฯเป็นปัญหาสิ่งแวดล้อมระดับประเทศ ภูมิภาค และโลก

สารกรดในบรรยายการและการทดสอบของกรด อุตสาหกรรมหรือประเทศไทยที่พัฒนาแล้ว ประเทศไทยทางทวีปยุโรปหลายประเทศ เช่น สหรัฐอเมริกา แคนาดาฯลฯ ประสบกับปัญหาฝุ่นกรดคามเป็นระยะเวลากลายสิบปี ตัวอย่างเช่น เกิดสภาพความเป็นกรดของน้ำในทะเลสาบ ทำให้ปลาและสัตว์มีชีวิตในน้ำเกิดความพิศวงดี ตาย และบางชนิดถึงกับสูญพันธุ์ไป เกิดการตายจากยอดน้ำของต้นไม้ในป่า เกิดการผุกร่อนของสิ่งก่อสร้างจากการกัดกร่อนของกรด จนเป็นผลให้เกิดการก่อตั้งหน่วยงานเครือข่ายเคมีด้านบรรยายการและภาคพื้นยุโรปขึ้น เพื่อศึกษาหารือแลกเปลี่ยนปัญหาการทดสอบของกรดต่อไป และเช่นเดียวกันกับทางตอนทวีปยุโรป ปัญหาฝุ่นกรดได้มีผลกระทบต่อหลายพื้นที่ของประเทศไทยในแทนทวีปเอเชีย ซึ่งมีการขยายตัวทางอุตสาหกรรมเพิ่มขึ้นอย่างต่อเนื่อง เพื่อป้องกันและแก้ไขปัญหาการทดสอบของกรด จึงมีการจัดตั้งเครือข่ายการติดตามตรวจสอบการทดสอบของกรดในภูมิภาคเอเชียตะวันออกเฉียงใต้ (Acid Deposition Monitoring Network in East Asia : EANET) โดยมีวัตถุประสงค์เพื่อให้เกิดความเข้าใจร่วมกันถึงสถานการณ์การทดสอบของกรด รวมทั้งการนำเสนอข้อมูลที่เป็นประโยชน์ในระดับท้องถิ่น ประเทศไทย และภูมิภาค ประเทศไทยที่เข้าร่วมโครงการ ได้แก่ จีน ญี่ปุ่น มาเลเซีย อินโดนีเซีย พลีบีียนส์ เวียดนาม เกาหลี รัสเซีย มองโกเลีย และประเทศไทย ซึ่งมีกรมควบคุมมลพิษเป็นผู้รับผิดชอบ ปัจจุบันได้มีการจัดตั้งเครือข่ายการติดตามตรวจสอบการทดสอบของกรดในประเทศไทย (Acid Deposition Monitoring Network in Thailand) โดยการร่วมกันของหน่วยงานภาครัฐที่เกี่ยวข้องและสถาบันการศึกษาในส่วนภูมิภาคต่างๆ ของประเทศไทย เพื่อติดตามตรวจสอบสถานะการทดสอบของกรด ทั้งที่อยู่ในรูปของการทดสอบกรดเปียกและการทดสอบกรดแห้งอย่างต่อเนื่อง เพื่อประเมินสถานการณ์ โอกาส และแนวโน้ม ในการเกิดผลกระทบอันเนื่องมาจากการทดสอบของกรด

ประเทศไทยเป็นประเทศไทยหนึ่งในภูมิภาคเอเชียตะวันออกเฉียงใต้ ที่กำลังมีการพัฒนาทางด้านเศรษฐกิจและสังคมในอัตราสูง ทำให้ชุมชนเมือง อุตสาหกรรม และการคมนาคมขนส่งขยายตัวอย่างรวดเร็ว เป็นผลให้มีการใช้พลังงานจากเชื้อเพลิงฟอสซิลเพิ่มขึ้นเป็นจำนวนมาก ปัญหารื่องสารกรดในบรรยายการซึ่งเริ่มปรากฏขึ้นบ้างแล้ว และอาจทวีความรุนแรงขึ้นในอนาคต เช่นเดียวกับที่เกิดในประเทศไทยอุตสาหกรรมที่พัฒนาแล้วดังกล่าวมานี้เองต้น การศึกษาตรวจสอบการทดสอบของกรดในส่วนพื้นที่ภาคใต้ของประเทศไทย เป็นส่วนหนึ่งของตัวแทนในโครงการดังกล่าว ใช้สถานีเก็บตัวอย่างมหาวิทยาลัยสงขลานครินทร์ ซึ่งมีคุณสมบัติตามหลักเกณฑ์ ข้อกำหนดการเลือกพื้นที่จุดเก็บตัวอย่างการทดสอบกรด คือ เป็นพื้นที่ซึ่งตั้งอยู่ห่างจากบริเวณชุมชนหนาแน่น ห่างจากแหล่งปล่อยสารมลพิษที่เป็นสาเหตุของการเกิดฝุ่นกรด คือ โรงไฟฟ้าซึ่งให้เชื้อเพลิงประเทศไทยค่านhin และการจราจรที่คับคั่ง กำหนดเป็นสถานีเครือข่ายตัวแทนของพื้นที่ใน

**แต่ชนบท (Rural site)** ทำการเก็บรวบรวมข้อมูล และวิเคราะห์ตัวอย่างตะกอนกรดหรือฝุ่นละอองค่าๆ ในอากาศ เพื่อเป็นแนวทางในการพิจารณาสภาพแวดล้อม ตลอดจนศักยภาพและความสามารถในการรองรับการทดสอบของกรด และใช้เพื่อพิจารณามาตรฐานการกำหนดระดับการป้องกันหรือแก้ไขก่อนที่จะเกิดปัญหาฝุ่นกรดขึ้น

## 2. การตรวจเชิงลึก

### 2.1 ทดลองและหลักการ

#### 2.1.1 ฝุ่นกรดและความเป็นกรดเป็นค่าของน้ำฝนตามธรรมชาติ

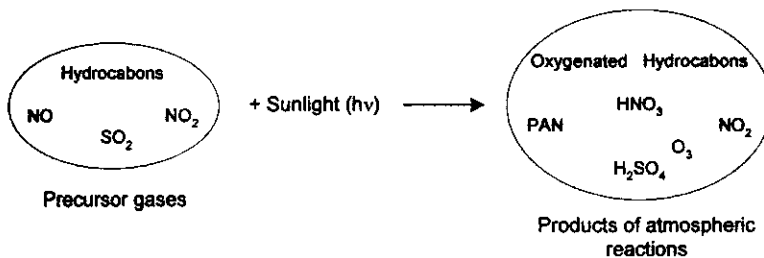
ความเป็นกรดเป็นค่าจากค่าพีเอช (pH) ซึ่งมีความสัมพันธ์กับความเข้มข้นของไฮโคลเจนไออกอน (Hydrogen ion) กรด คือสารที่ละลายน้ำแล้วแตกตัวให้ไฮโคลเจนไออกอน ( $H^+$ ) สารที่แตกตัวให้ไฮโคลเจนไออกอนอยู่ในสมบูรณ์เรียกว่ากรดแก่ สารที่แตกตัวให้ไฮโคลเจนไออกอนได้บางส่วนเรียกว่ากรดอ่อน ค่า คือสารที่ละลายน้ำแล้วแตกตัวให้หมู่ไฮดรอกซิลไออกอน ( $OH^-$ ) ได้แก่ สารจำพวกออกไซด์หรือไฮดรอกไซด์ของโลหะ ในการวัดค่าความเป็นกรดเป็นค่า ค่า pH มีค่าตั้งแต่ 0-14 ขึ้นอยู่กับสมดุลของกรดและด่าง pH ย้อนจาก Puissace d' Hydrogen มีค่าเท่ากับ  $-\log [H^+]$  เมื่อ  $[H^+]$  คือค่าความเข้มข้นของไฮโคลเจนไออกอน ดังนั้นมีค่าไฮโคลเจนไออกอนเพิ่มมากขึ้น ค่า pH จะลดต่ำลง หมายความว่ามีความเป็นกรดมาก

น้ำบริสุทธิ์มีสมบัติเป็นกลาง มีจำนวนไฮโคลเจนไออกอนเท่ากับไฮดรอกซิลไออกอน มีค่า pH เท่ากับ 7 น้ำฝนสะอาดตามธรรมชาติไม่ใช่น้ำบริสุทธิ์ จะเป็นกรดอ่อน เนื่องจากในกระบวนการของการเกิดฝน เมื่อไอน้ำระเหยขึ้นไปบนชั้นบรรยากาศ จะไปผสมกับก๊าซคาร์บอนไดออกไซด์ ( $CO_2$ ) เกิดเป็นกรดคาร์บอนิก ( $H_2CO_3$ ) ซึ่งเป็นกรดอ่อนและไม่มีอันตรายในธรรมชาติ ดังนั้นน้ำฝนตามปกติจะมีค่า pH อยู่ในช่วง 5-7 แต่โดยทั่วไปแล้ว จะมีค่า pH เท่ากับ 5.6 แพ่หากในบรรยากาศมีสารต่างๆ เช่น ฝุ่นละออง อนุภาค หรือก๊าซต่างๆ ซึ่งก่อให้เกิดสารกรด เช่น ก๊าซออกไซด์ของซัลเฟอร์ และก๊าซออกไซด์ของไนโตรเจนแล้ว จะสามารถเกิดปฏิกิริยาทำให้เกิดเป็นกรดได้ สิ่งเหล่านี้เป็นสาเหตุทำให้น้ำฝนมีค่า pH ต่ำกว่าปกติ ก่อให้เกิดเป็นปรากฏการณ์ฝุ่นกรด เมื่อมีการทดสอบเป็นระยะเวลานานจะเป็นอันตรายและเกิดปัญหาต่อสิ่งแวดล้อมได้

#### 2.1.2 แหล่งกำเนิดการทดสอบกรดในบรรยากาศ

สารตั้งต้นที่เป็นสาเหตุให้เกิดการสะสมของกรด มีทั้งแหล่งที่มาตามธรรมชาติ (Natural sources) เช่น ไฟไหม้ป่า ภูเขาไฟคุกหรือระเบิด การระเหยของน้ำทะเล การเน่าเสียของ

แหล่งอนุภาคขนาดเล็ก และสารอินทรีย์อื่นๆ หรือปริมาณการพื้นที่แพร่กระจาย ซึ่งมีปริมาณน้อยมาก ที่เกี่ยวกับแหล่งที่มาจากการต่างๆ ของมนุษย์ (Anthropogenic sources) เช่น การจราจร โรงไฟฟ้า โรงงานอุตสาหกรรม การเผาไหม้บุหรี่ และการใช้เชื้อเพลิงภายในบ้านเรือน เกิดเป็นสารมลพิษปฐมภูมิ (Primary pollutants) เมื่อสารเหล่านี้ถูกปล่อยสู่บรรยากาศโดยตรง จะเกิดปฏิกิริยาเคมีกับสารต่างๆ ในบรรยากาศ โดยเฉพาะอุณหภูมิและความชื้น เกิดเป็นสารมลพิษที่ดีขึ้น (Secondary pollutants) ที่เป็นสาเหตุสำคัญของการเกิดกรด ได้แก่ กรดฟูวิริก และกรดไนตริก



ภาพที่ 1 ความสัมพันธ์ระหว่างสารตั้งต้นและผลผลิตก๊าซในบรรยากาศ

กระบวนการทางเคมีในบรรยากาศขึ้นอยู่กับจำนวนผลศาสตร์เคมี ปฏิกิริยาเคมีของก๊าซส่วนใหญ่จะเกี่ยวข้องกับการชนกันของโมเลกุล 2-3 โมเลกุล ทำให้เกิดการเปลี่ยนแปลงพันธะเคมี เกิดการจัดเรียงโมเลกุลใหม่ และเกิดการรวมตัวกันของatom อื่นๆ จนเกิดเป็นสารใหม่ขึ้นมา ดังตัวอย่าง อย่างง่ายของการรวมตัวกันของก๊าซ 2 โมเลกุล



อัตราการเกิดปฏิกิริยาจะมีค่าเท่ากับ  $k[B][C]$  เมื่อ  $k$  คือค่าคงที่อัตราการเกิดปฏิกิริยา มีค่าขึ้นอยู่กับ Frequency factor (A) พลังงานกระตุ้น ( $E_a$ ) ค่าคงที่ก๊าซในอุณหภูมิ (R) และอุณหภูมิ (T) ดังสมการ

$$k = A \exp[-E_a / RT] \quad (2)$$

ในการเกิดปฏิกิริยาทางเคมีของก๊าซใดๆ ในบรรยากาศ เมื่อ  $E_a > 30 \text{ kJ/mol}$  อัตราการเกิดปฏิกิริยา จะค่อนข้างต่ำมาก (Stern, 1984) ดังนั้นในการเกิดปฏิกิริยาทางเคมีเกิดเป็นสารใหม่ จึงอาจมีตัวเร่งปฏิกิริยา (Catalyst) เข้ามาเกี่ยวข้องด้วย ตัวอย่างปฏิกิริยาทางเคมีและค่าอัตราการเกิดปฏิกิริยาของก๊าซบางชนิด เป็นดังแสดงในตาราง 1

### ตาราง 1 พลังงานgradeศุนย์และปฏิกิริยาเคมีของก๊าซในบรรยากาศ

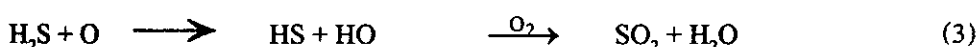
Reaction	$E_a (\text{kJ/mol})$
$\text{N}_2 + \text{O}_2 \rightarrow \text{N}_2\text{O} + \text{O}$	538
$\text{CO} + \text{O}_2 \rightarrow \text{CO}_2 + \text{O}$	251
$\text{SO}_2 + \text{NO}_2 \rightarrow \text{SO}_3 + \text{NO}$	106
$\text{O} + \text{H}_2\text{S} \rightarrow \text{OH} + \text{HS}$	6.3
$\text{O} + \text{NO}_2 \rightarrow \text{NO} + \text{O}_2$	< 1
$\text{HO}_2 + \text{NO} \rightarrow \text{NO}_2 + \text{OH}$	< 1

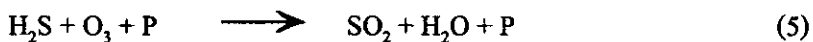
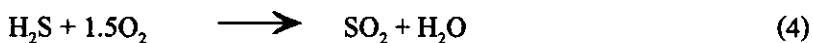
ที่มา : Campbell, 1977

สารมลพิษที่เป็นสารตั้งต้นหลักซึ่งก่อให้เกิดสารกรดในบรรยากาศ แบ่งออกเป็น 3 กลุ่ม คือ

#### 2.1.2.1 สารประกอบออกไซด์ของซัลเฟอร์ ( $\text{SO}_x$ )

สารประกอบซัลเฟอร์ที่พบทั่วไปในบรรยากาศ ได้แก่ ซัลเฟอร์ไดออกไซด์ ( $\text{SO}_2$ ) ซัลเฟอร์ไตรออกไซด์ ( $\text{SO}_3$ ) ไฮโดรเจนซัลไฟด์ ( $\text{H}_2\text{S}$ ) และซัลเฟต ( $\text{SO}_4^{2-}$ ) ซึ่งอยู่ในรูปของอนุภาคแขวนลอยในอากาศ (Acid aerosol) แต่ที่เป็นสาเหตุหลักในการเกิดการสะสมกรดคือ ซัลเฟอร์ไดออกไซด์ มีคุณสมบัติเป็นก๊าซไม่มีสี ไม่คิดไฟ ไม่ระเบิด มีกลิ่นแรงจมูก ก่อให้เกิดรสได้ถ้ามีปริมาณสูง ละลายได้ดีในน้ำและเกิดเป็นกรด โดยทั่วไปพบในบรรยากาศประมาณ 0.02-0.1 ppm เกิดจากกระบวนการทางธรรมชาติ คือการเกิดปฏิกิริยาออกซิเดชันของออกซิเจนและไอโอดีน กับไฮโดรเจนซัลไฟด์ ซึ่งส่วนใหญ่แล้วมาจากการแหล่งธรรมชาติ คือเกิดจากการเน่าเปื่อยและย่อยสลายของซากพืชซากสัตว์โดยชลินทรีย์แบบไร้ออกซิเจน (Anaerobic bacteria) เกิดเป็นก๊าซซัลเฟอร์ ไดออกไซด์ซึ่งมีกลิ่นไกการเปลี่ยนแปลงเป็นดังสมการต่อไปนี้ คือ





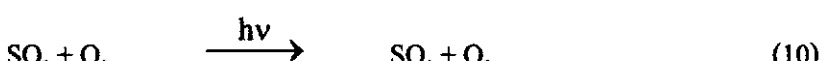
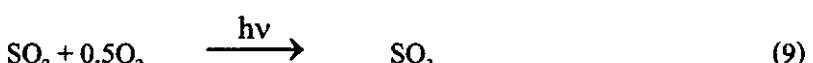
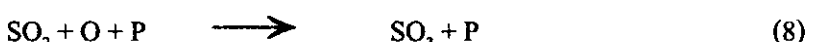
เมื่อ P ในสมการ คือสิ่งที่ทำหน้าที่เป็นตัวเร่งปฏิกิริยา (Catalyst) อาจเป็นอนุภาคเล็กๆ ที่แขวนลอยในอากาศ เช่น ฝุ่นละออง หรือละอองน้ำ นอกจากนี้แล้วแหล่งกำเนิดธรรมชาติที่สำคัญยังมามาก การระเบิดของภูเขาไฟซึ่งปล่อยหง่านฟุ้นที่มีกำมะถันเป็นองค์ประกอบข้าสู่บรรยากาศด้วย ในปัจจุบัน ก๊าซชัลเฟอร์ไดออกไซด์ในบรรยากาศมีปริมาณเพิ่มขึ้น ซึ่งพบว่า > 90 % ของชัลเฟอร์ไดออกไซด์ เหล่านี้เกิดขึ้นจากการกระทำการของมนุษย์ ส่วนใหญ่แล้วจะเกิดมาจากการสันดาปหรือเผาไหม้ เชื้อเพลิงฟอสซิล หรือวัสดุที่มีกำมะถัน (S) เป็นส่วนประกอบอยู่ เช่น ถ่านหินและน้ำมัน ซึ่งมีทั้ง แหล่งปล่อยอยู่กับที่ (Stationary sources) และแหล่งปล่อยเคลื่อนที่ (Mobile sources) เมื่อเผาไหม้ เชื้อเพลิงเหล่านี้ ชัลเฟอร์จะถูกออกซิไ化ซ์ก็ถ้าเป็นก๊าซชัลเฟอร์ไดออกไซด์ ดังสมการ



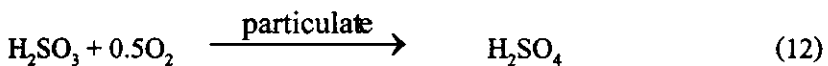
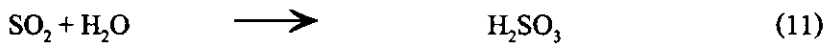
ในการเผาถ่านหิน กำมะถันส่วนใหญ่จะปะปนอยู่ในรูปของสาร ไอรอนไไฟริต (Iron Pyrite) ซึ่งมีสูตรทั่วไปเป็น  $\text{FeS}_2$  เมื่อสารนี้ถูกเผาไหม้ กำมะถันจะถูกออกซิไ化ซ์ได้  $\text{SO}_2$  ดังสมการ



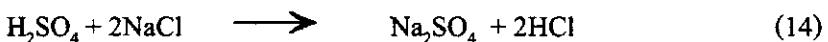
ในกระบวนการเผาไหม้อาจเกิดชัลเฟอร์ไดออกไซด์ขึ้นมา แต่มีปริมาณไม่มากนัก ก๊าซชัลเฟอร์ไดออกไซด์สามารถเปลี่ยนรูปไปเป็นก๊าซชัลเฟอร์ไดออกไซด์และกรดชัลฟิวริกได้ เมื่ออยู่ในบรรยากาศที่มีตัวเร่งปฏิกิริยา เช่น แสงอาทิตย์ หลัก และวานาเดียม หรือโดยผ่านกระบวนการเคมีแสง (Photochemical process) ซึ่งต้องมีแสงแผลความเกี่ยวข้องด้วย ดังสมการ



สาในบรรยากาศมีความชื้นมากพอ  $\text{SO}_2$  จะรวมกับ  $\text{H}_2\text{O}$  เกิดเป็นกรดซัลฟิรัส ซึ่งสามารถถูกต่อยไว้เพื่อเป็นกรดซัลฟิริกได้ โดยมีผู้นับองและอนุภาคค่าๆ ในบรรยากาศทำหน้าที่เป็นตัวร่างปฏิกริยา



กรดซัลฟิริกที่เกิดขึ้นอาจทำปฏิกริยากับแอมโมเนียมหรือเกลือของโซเดียม เช่น  $\text{NaCl}$  จากอนุภาคเกลือทะเล (Seasalt particles) เกิดเป็นชัลเฟต์ ดังนี้



นอกจากนี้ตัวก๊าซชัลเฟต์ได้ออกไชด์เองก็สามารถเกิดเป็นชัลเฟต์ได้อย่างรวดเร็ว โดยทำปฏิกริยากับแอมโมเนียมในอากาศที่มีความชื้น ดังสมการ

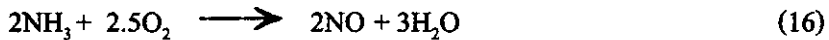


ทั้งนี้แอมโมเนียจะทำหน้าที่เป็นสารบัฟเฟอร์ และตามปกติแล้วชัลเฟต์จะมีค่าครึ่งชีวิต (Half life) ประมาณ 3 วัน กล่าวคือ ครึ่งหนึ่งของชัลเฟต์จะถูกย่อยออกไปจากบรรยากาศในรูปของการตกตะกอนภายใน 3 วัน และโดยทั่วไปแล้ว  $\text{SO}_2$  จะถูกออกซิไชด์เป็น  $\text{SO}_3$  โดย  $\text{O}_2$  หรือ  $\text{O}_3$  จากนั้นจะเกิดการควบแน่นหรือตกตะกอนในรูปของ  $\text{H}_2\text{SO}_4$  หรือ  $\text{SO}_4^{2-}$  ต่อไป

### 2.1.2.2 สารประกอบออกไชด์ของไนโตรเจน ( $\text{NO}_x$ )

ในไนโตรเจนสามารถรวมกับออกซิเจนเกิดเป็นสารประกอบออกไชด์ได้หลายชนิด เช่น ในครัสออกไชด์ ( $\text{N}_2\text{O}$ ) หรือที่เรียกว่าก๊าซหัวใจ ในคริกออกไชด์ ( $\text{NO}$ ) ในไนโตรเจนไคออกไชด์ ( $\text{NO}_2$ ) และได้ในไนโตรเจนไครออกไชด์ ( $\text{N}_2\text{O}_3$ ) แต่สารประกอบออกไชด์ของไนโตรเจนที่พบมากในบรรยากาศและเป็นสารนลพิษที่สำคัญอยู่ในรูปของไนตริกออกไชด์ มีลักษณะเป็นก๊าซไม่มีสีและกลิ่น ละลายนำได้บ้างเล็กน้อย และในไนโตรเจนไคออกไชด์ ซึ่งมีสภาพเป็นก๊าซที่อุณหภูมิปกติ ก๊าซเหล่านี้เกิดขึ้นได้ทั้งจากธรรมชาติ คือเกิดจากปรากฏการณ์ฟ้าแลบ

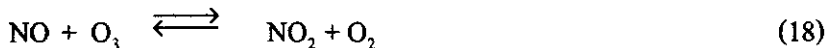
สำหรับ ภูมิภาคเอเชียตะวันออกเฉียงใต้ กระบวนการสลายตัวของซากสิ่งมีชีวิตตามวัฏจักรในไตรเจนเกิดเป็น  $\text{NH}_3$  ท่านั้นจะถูกออกซิไซซ์เป็น  $\text{NO}$  ดังสมการ



บริเวณจากกิจกรรมต่างๆ ของมนุษย์ ซึ่งพบว่า 90 - 95% ของออกไซด์ของไนโตรเจนเกิดขึ้นจาก การกระทำของมนุษย์ โดยเกิดจากการสันดาปของเชื้อเพลิงต่างๆ จากโรงงานอุตสาหกรรมและ ชานพาหนะ การเกิดไนโตริกออกไซด์มีอุณหภูมิเป็นส่วนประกอบที่สำคัญ กล่าวคือ จะเกิดเมื่อมี การสันดาปที่อุณหภูมิสูง ดังนั้นครื่องบนที่จุดให้เกิดก๊าซนี้ในปริมาณสูง และเนื่องจากในอากาศ มีไนโตรเจนปริมาณสูงถึงร้อยละ 78 และเมื่อออกซิเจนอยู่ถึงร้อยละ 21 ดังนั้นในไตรเจนจะรวมกับ ออกซิเจนเกิดเป็นผลพลอยได้จากการเผาไหม้ แสดงดังสมการ



แต่ย่างไรก็ตามก้าวผ่านของไนโตรเจนซึ่งเกิดจากการเผาไหม้ที่อุณหภูมิสูงนี้ จะประกอบด้วย ในตริกออกไซด์เกือบทั้งหมด และเมื่อก้าวในตริกออกไซด์ทำปฏิกิริยากับไอโซนในบรรยากาศจะ เกิดเป็นไนโตรเจนไดออกไซด์และออกซิเจน และในทางกลับกัน แสงแดดจะทำให้ไนโตรเจนได ออกไซด์แตกตัวเกิดปฏิกิริยาขึ้นกลับ ดังสมการ



เนื่องจาก  $\text{NO}_2$  ละลายน้ำได้เป็นอย่างดี ดังนั้นโดยเฉลี่ยแล้ว จะอยู่ในบรรยากาศได้เพียง 3 วัน เมื่อ เกิดการรวมตัวกับละลายน้ำในบรรยากาศหรือน้ำฝน จะเกิดเป็นกรดในตริก ดังสมการ

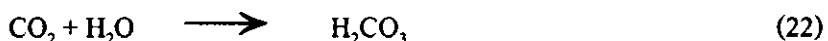


และจะถูกกำจัดออกจากบรรยายโดยการตกตะกอนสะสมลงสู่พื้นโลกต่อไป

### 2.1.2.3 สารประกอบไฮโดรคาร์บอน

ไฮโดรคาร์บอนเป็นสารประกอบ ซึ่งประกอบด้วยไฮโดรเจนและคาร์บอน เป็นสารประกอบอินทรีย์ ยกเว้นออกไซด์ของคาร์บอน คาร์บอเนต และคาร์บอนเนต ที่มีอยู่ในบรรยากาศส่วนใหญ่แล้วเป็นไฮโดรคาร์บอนระเหยง่าย (Volatile hydrocarbon) เกิดจากก๊าซจากห่อไอเสียที่หลงเหลือจากการเผาไหม้เชื้อเพลิงที่ไม่สมบูรณ์และเกิดจากอุตสาหกรรมต่างๆ ที่ใช้สารประกอบไฮโดรคาร์บอน เช่น อัลเคน อัลคีน อะโรมาติก อัลเดไฮด์ พาราฟิน และแพร์อิน เป็นต้น

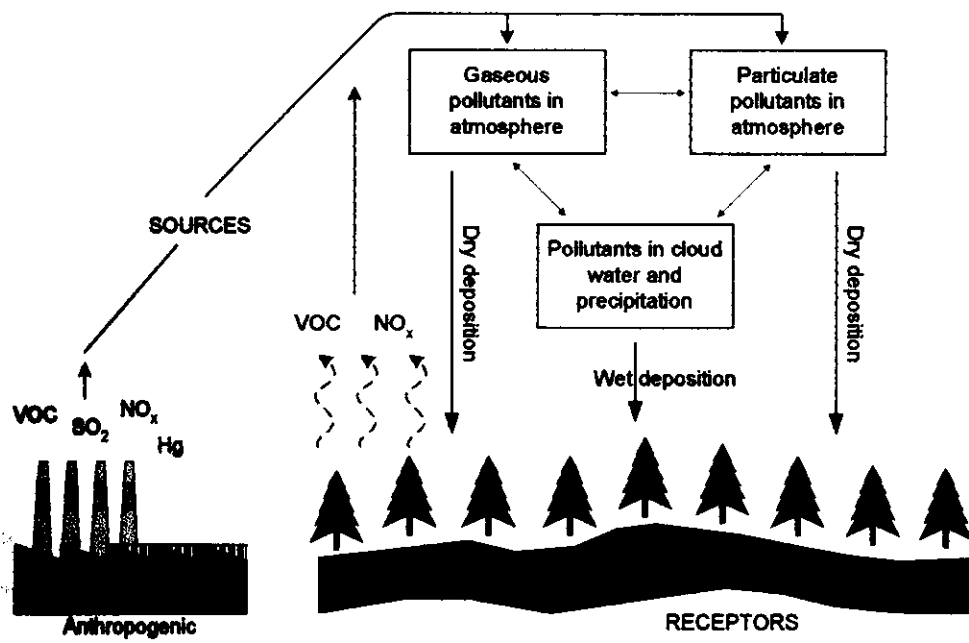
โดยปกติแล้วสารประกอบไฮโดรคาร์บอนที่มีจำนวนคาร์บอน 1 – 4 จะอยู่ในสถานะก๊าซที่อุณหภูมิปกติ ส่วนพวกลำบบริสุทธิ์ที่มีจำนวนคาร์บอน 5 หรือสูงกว่าจะมีสถานะเป็นของเหลวหรือของแข็ง และส่วนใหญ่แล้วสารประกอบคาร์บอนที่มีจำนวนคาร์บอนมากกว่า 12 จะไม่อยู่ในสภาพเป็นก๊าซมากพอที่จะทำให้เกิดปัญหาภัยเป็นกรดได้ เมื่อสารประกอบเหล่านี้ในสถานะก๊าซ เช่น ก๊าซคาร์บอนไดออกไซด์รวมตัวกับน้ำ จะเกิดเป็นกรดคาร์บอนิกซึ่งมีสภาพเป็นกรดอ่อน แสดงดังสมการ



ดังนั้นน้ำฝนธรรมชาติจึงมีค่า pH ประมาณ 5.6 ซึ่งไม่ได้ก่อให้เกิดอันตรายต่อสภาพแวดล้อมตามธรรมชาติ

### 2.1.3 กลไกการทดสอบของกรดจากบรรยายกาศ

ปฏิกริยาการเกิดกรดในบรรยายกาศและการทดสอบของกรดสูญพิษโลก เกิดขึ้นในบรรยายกาศชั้นสตราโทสเพียร์และโถร โพสเพียร์ สารมลพิษที่ก่อให้เกิดกรด คือ สารประกอบออกไซด์ของซัลเฟอร์และไนโตรเจน การทดสอบของกรดเกิดขึ้นเป็นวิธีการ เริ่มนับจากสารมลพิษถูกปล่อยเข้าสู่บรรยายกาศจากแหล่งกำเนิดแบบจุดหรือแบบกระจาย แล้วถูกพาไปที่ทางเดินหายใจ หรือทำให้เข้มข้นขึ้นในบรรยายกาศด้วยเงื่อนไขทางอุตุนิยมวิทยา คือสภาพอากาศ ความเร็วและทิศทางลม และลักษณะความสูงต่างของภูมิประเทศ ดังนั้นสารมลพิษที่ก่อให้เกิดกรดจึงสามารถเดินทางไปในบรรยายกาศได้เป็นระยะทางหลาຍร้อยหลาຍพันกิโลเมตร แล้วจึงสิ้นสุดลงเมื่อเกิดการทดสอบสูญพิษโลก กลไกการทดสอบของกรดแสดงดังภาพที่ 2



## ภาพที่ 2 กลไกการตกสะสมของกรดจากบรรยายกาศลงถู่พื้นโลก

กระบวนการตกสะสมของกรดจากบรรยายกาศ (Atmospheric acid deposition) เกิดขึ้นใน 2 รูปแบบ คือ การตกสะสมกรดเปียก (Acid wet deposition) และการตกสะสมกรดแห้ง (Acid dry deposition) ปริมาณการตกสะสมของกรด พิจารณาในรูปฟลักซ์การตกสะสมของสารกรดที่ลงถู่พื้นที่รองรับ ภายในระยะเวลาที่สังเกตการณ์

### 2.1.3.1 การตกสะสมกรดเปียก

การตกสะสมกรดเปียก คือ กระบวนการเคลื่อนย้ายสารมลพิษจากบรรยายกาศลงถู่พื้นโลก โดยรวมมากับน้ำฝน ทั้งน้ำค้าง หมอก หรือน้ำในรูปแบบอื่นๆ แต่เนื่องจากประเทศไทยพื้นที่อยู่ในพื้นที่เขตร้อน ดังนั้นการตกสะสมกรดเปียกจะตกลงมาในรูปของน้ำฝน หรือที่เรียกว่า ฝนกรด ซึ่งเกิดจากการที่กรดซัลฟิวริกและกรดไฮดริกใน空氣ในบรรยายกาศรวมตัวกับก้อนเมฆ แล้วกลับตัวเป็นน้ำฝน รวมไปถึงการละลายของก๊าซซัลไฟร์ไดออกไซด์และไนโตรเจนไดออกไซด์ในน้ำฝน และการซับซ้อนกับความชื้นของสารกรดในบรรยายกาศรวมในน้ำฝน โดยจะเกิดกระบวนการเปลี่ยนแปลงของสารมลพิษเหล่านี้ทั้งสถานะก๊าซ ของเหลว และของแข็ง จากนั้นจึงตกสะสมลงมาถู่พื้นโลก ค่าปริมาณการตกสะสมของกรดเปียกเป็นค่าสมการต่อไปนี้ คือ

$$F = C \times \frac{V}{A} \quad (23)$$

เมื่อ  $F$  คือฟลักซ์การตัดส่วนของสารกรดเปียก ( $\text{mg}/\text{m}^2 \cdot \text{yr}$ ),  $C$  คือความเข้มข้นของสารกรดเปียก ในสั่นช่างน้ำฝน ( $\text{mg/l}$ ),  $V$  คือปริมาตรของตัวช่างน้ำฝน ( $\text{l}/\text{yr}$ ) และ  $A$  คือพื้นที่ตัดส่วน ( $\text{m}^2$ )

### 2.1.3.2 การตัดส่วนกรดแห้ง

การตัดส่วนกรดแห้ง คือ การเคลื่อนย้ายของก๊าซและอนุภาคต่างๆ จากบรรยากาศสู่พื้นโลก โดยไม่มีการรวมตัวกันหยดน้ำ โดยผ่านกระบวนการพัดพา การแพร่ซึมหรือการตกลงมาด้วยแรงโน้มถ่วงของโลก ปัจจัยต่างๆ ซึ่งมีอิทธิพลต่อการตัดส่วนของก๊าซและอนุภาคเหล่านี้ ได้แก่ ระดับความปั่นป่วนของบรรยากาศ และลักษณะทางอุตุนิยมวิทยา แล้วก๊าซที่สูดสารณพิษเหล่านี้จะถูกจับด้วยความสามารถในการดูดซับหรือดูดซึมก๊าซหรืออนุภาคต่างๆ ของพืช คิน น้ำ และพื้นผิวสกุอื่นๆ ที่เป็นแหล่งรองรับ ทั้งจากปฏิกิริยาทางเคมีและทางกายภาพ ขึ้นอยู่กับธรรมชาติและสภาพของพื้นผิวรองรับ

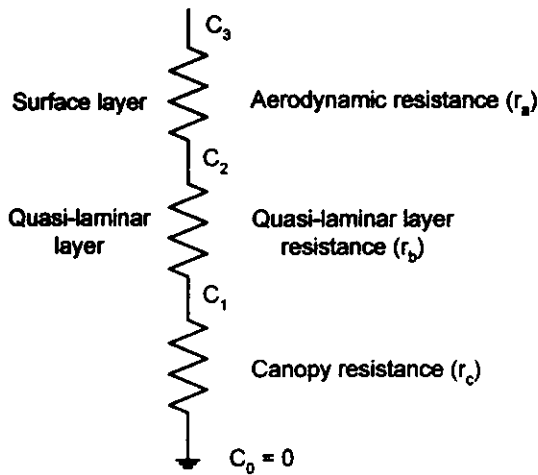
ค่าปริมาณการตัดส่วนกรดแห้ง เป็นสัดส่วนโดยตรงกับความเข้มข้นของก๊าซหรืออนุภาคนั้นๆ ในบรรยากาศ และมีค่าขึ้นอยู่กับความสูงของแหล่งรองรับ มีค่าเป็นดังสมการ

$$F = -v_d C \quad (24)$$

เมื่อ  $F$  คือค่าฟลักซ์การตัดส่วนของสารกรดแห้ง ( $\text{mg}/\text{m}^2 \cdot \text{yr}$ ),  $C$  คือค่าความเข้มข้นของสารกรดแห้งในบรรยากาศ ( $\text{mg/l}$ ) และ  $v_d$  คือค่าความเร็วการตัดส่วนมีหน่วยเป็นระยะทางต่อเวลา ซึ่งคำนวณมาจาก Resistance model มีสมการดังนี้คือ

$$\frac{1}{v_d} = r_a + r_b + r_c \quad (25)$$

ค่า  $v_d$  คำนวณได้จากการแบ่งชั้น (Layer) ของการตกลงสู่พื้นดินของสารกรดในบรรยากาศ ออกเป็น 3 ชั้น คือ Aerodynamic resistance ( $r_a$ ), Quasi-laminar resistance ( $r_b$ ) และ Canopy resistance ( $r_c$ ) โดยที่ ชั้นแรก คือ Surface layer มีการแพร่ผ่านความปั่นป่วนของบรรยากาศ ค่า  $r_a$  คำนวณได้จากลักษณะทางอุตุนิยมวิทยา คือ อุณหภูมิ ความเร็วและทิศทางลม ปริมาณแสงแดดร่วมกับมีเสถียรภาพของบรรยากาศ และความสูงเหนือพื้นดินของพื้นผิวรองรับ ตามสมการ



ภาพที่ 3 Resistance model

$$r_a = \frac{1}{\kappa u_*} \ln \left( \frac{z}{z_0} \right) \quad (26)$$

เมื่อ  $\kappa$  คือ von Karman constant มีค่าเท่ากับ 0.4,  $z$  คือ ความสูงของจุดเก็บตัวอย่าง,  $z_0$  คือ ความสูงของแหล่งร้อน ต่ำกว่า  $u_*$ , คือ Friction velocity หากได้จาก

$$\frac{u(x)}{u_*} = \frac{1}{\kappa} \ln \left( \frac{x}{z_0} \right) \quad (27)$$

โดยที่  $u(x)$  คือ ความเร็วลมที่ความสูงของจุดตรวจวัดที่นำมาใช้อ้างอิง

ชั้นที่ 2 คือ Boundary layer มีความหนาในระดับมิลลิเมตร ภายในชั้นนี้อากาศจะอยู่นิ่ง สารต่างๆ จะเคลื่อนที่ผ่านโดยการแพร่ (Diffusion) และการตกจน (Sedimentation) เรียกอีกชื่อหนึ่งว่า Quasi-laminar sublayer ค่า  $r_b$  คำนวณได้จากคุณสมบัติการแพร่ของโมเลกุลอนุภาคหรือกําชในอากาศ ดังสมการ

$$r_b = \frac{5Sc^{2/3}}{u_*} \quad (28)$$

เมื่อ Sc คือ Schmidt number มีค่าเท่ากับ  $v/D$ ,  $v$  คือ Kinematic viscosity ของอากาศ และ  $D$  คือ Molecular diffusivity ของก๊าซแต่ละชนิด

ขั้นที่ 3 คือความด้านทางที่พื้นผิวของแหล่งรับ ขึ้นอยู่กับคุณสมบัติทางเคมีของก๊าชหรืออนุภาค และคุณสมบัติของพื้นผิวแหล่งรับ ค่า  $r_c$  คำนวณได้จากสมการ

$$r_c = \left( \frac{1}{r_{st} + r_m} + \frac{1}{r_{lu}} + \frac{1}{r_{dc} + r_{cl}} + \frac{1}{r_{sc} + r_{gs}} \right)^{-1} \quad (29)$$

โดยที่

$$r_{st} = r_j \left[ 1 + \left( \frac{200}{G + 0.1} \right)^2 \left( \frac{400}{T_s (40 - T_s)} \right) \right] \quad (30)$$

$$r_{st}^i = r_{st} \left( \frac{D_{H_2O}}{D_i} \right) \quad (31)$$

$$r_m^i = \frac{1}{3.3 \times 10^{-4} H_i^* + 100 f_0^i} \quad (32)$$

$$r_{lu}^i = r_{lu} \left( \frac{1}{10^{-5} H_i^* + f_0^i} \right) \quad (33)$$

$$r_{dc} = 100 \left( 1 + \frac{1000}{G + 10} \right) \left( \frac{1}{1 + 1000 \theta} \right) \quad (34)$$

$$r_{cl}^i = \left( \frac{10^{-5} H_i^* + f_0^i}{r_{cls} + r_{clo}} \right)^{-1} \quad (35)$$

$$r_{gs}^i = \left( \frac{10^{-5} H_i^* + f_0^i}{r_{gss} + r_{gos}} \right)^{-1} \quad (36)$$

เมื่อ  $r_{st}$  คือ Leaf stomatal resistance,  $r_m$  คือ Mesophyll resistance,  $r_{lu}$  คือ Leaf cuticular resistance,  $r_{dc}$  คือ Resistance by buoyant convection,  $r_{cl}$  คือ Resistance to uptake by exposed surface,  $r_{sc}$  คือ Transfer resistance (at ground),  $r_{gs}$  คือ Resistance to uptake by soil,  $G$  คือค่าความเข้มรังสีดวงอาทิตย์ (Solar radiation),  $T_s$  คืออุณหภูมิของอากาศ,  $D_{H_2O}/D_i$  คือค่า Molecular diffusivity ของน้ำต่อ ก๊าชใดๆ,  $H_i^*$  คือ Effective Henry's law constant และ  $f_0^i$  คือ Normalized reactivity factor สำหรับก๊าชที่ละลายในน้ำได้ มีค่าอยู่ในช่วง 0-1

## 2.1.4 ผลกระทบจากการตัด砍และสมดุลของวรรค

เมื่อมีการตัด砍และสมดุลของวรรคลงมาสู่แหล่งน้ำหรือผืนดิน จะทำให้น้ำและดินมีสภาพความเป็นกรดมากขึ้น จึงเกิดความเสียหายต่อพืช สัตว์ มนุษย์ และระบบนิเวศวิทยา รวมทั้งก่อให้เกิดการสึกกร่อนของวัสดุหรือสิ่งก่อสร้างต่างๆ มีรายละเอียดดังนี้คือ (Horwood, 1995)

### 2.1.4.1 ผลกระทบต่อป่าไม้และชาตุอาหารพืช

ฟันกรดเป็นพิษต่อพืชโดยตรง พืชที่ไวต่อฟันกรด จะเกิดอาการไหม้เป็นแพลและตายไป ส่งผลให้ป่าไม้ถูกทำลาย ปฏิกิริยาของฟันกรดซึ่งทำความเสียหายให้กับพืชในพื้นที่ป่าแห่งออกได้เป็น 4 ระยะ คือ

ระยะแรก เมื่อฟันอาจทำความเสียหายโดยตรงต่อพืชจากความเป็นกรดในน้ำฝน แต่ถ้าความเป็นกรดของน้ำฝนนิ่มค่าไม่น่ากังวล ดันไม้อาจได้รับผลประไบชันเนื่องจากมีการเพิ่มเขื่นของปริมาณกำมะถันและไนโตรเจนในดิน ดังนั้นสำหรับงานวิจัยในระยะสั้นจึงอาจพบผลกระทบในแห่งน้ำ เช่น การสังเคราะห์แสงของต้นสน Red spruce (*Picea rubens*) จะเพิ่มขึ้น 35% เมื่อได้รับฟันกรด pH 3.0 เมื่อเปรียบเทียบกับฟันกรด pH 4.5

ระยะที่สอง เมื่อเริ่มน้ำมีการสะสมของกรดในดิน จะเกิดการแตกเปลี่ยนไออกอนระหว่างไออกอนไออกอนและไออกอนบวกซึ่งเป็นบวกเพอร์ที่ดินดูดซับไว ทำให้เกิดการชะล้างไออกอนบวกเหล่านี้ ส่งผลให้เกิดการสูญเสียชาตุอาหาร เช่น แคลเซียม (Ca), แมกนีเซียม (Mg) และไপเตตเซียม (K) ซึ่งการสูญเสีย Ca และ Mg จะส่งผลต่อเซลล์ในคอร์เท็กซ์ มีผลต่อการส่งลำเลียงน้ำ ทำให้มีผลกระทบต่อการเจริญเติบโตของไม้ชิ้นต้น นอกจากนั้นฟันกรดยังส่งผลต่อการลดลงของชาตุฟอฟอรัส (P) และไนโตรเจน (N) ของต้นไม้อีกด้วย

ระยะที่สาม เป็นช่วงที่ดินสูญเสียสภาพน้ำฟเฟอร์ ซึ่งตามปกติแล้วในดินจะมีอุณหภูมิและชาตุโลหะหนักอยู่ แต่อยู่ในสภาพที่ไม่ละลาย เมื่อมีการตัด砍และสมดุลของวรรคเกิดขึ้น กระจากกำมะถันจะทำให้อุณหภูมิและชาตุโลหะหนักในดินละลาย ก่อให้เกิดยั่นตราหย่่อรากฟอยของพืช ทำให้ความสามารถในการดูดน้ำและการเจริญเติบโตของพืชลดลง นอกจากนั้นยังทำให้พืชอ่อนแอ เกิดการถูกทำลายจากโรคระบาดและแมลงได้มากขึ้น

ระยะที่สี่ เรียกอีกชื่อว่า ระยะ Succession stage ผลกระทบจากปัจจัยทางชีวภาพทำให้ต้นไม้ในระยะนี้ถูกกับตายได้ ตัวอย่างเช่น การตายของต้นไม้ในปีที่ร้อนแล้ง การยืนต้นตายจากบนลงล่าง (Dieback) ของต้นไม้ในป่าหาดใหญ่ในทวีปบุรีและอมรินทรานีอ การลดลงของความด้านทานต่อความหนาวยืนของพืชในเขตตอนอุ่นและเขตหนาว และการปีกของป่าในเนื้องจาก  $\text{SO}_2$  ในอากาศ ทำให้การสังเคราะห์แสงลดลง ใบเหลือง และร่วงหล่น

#### 2.1.4.2 ผลกระทบต่อดิน

ดินที่ได้รับฟันกรดมีการลดลงของค่า pH ไม่เท่ากัน เนื่องจากในแต่ละพื้นที่ดินจะมีคุณสมบัติแตกต่างกัน ขึ้นอยู่กับปัจจัยต่างๆ คือ เนื้อดิน (Soil texture), ค่าการอิ่มตัวของดิน (Base saturation), ค่าความสามารถในการแลกเปลี่ยนประชุมวาก (Cation Exchange Capacity : CEC), องค์ประกอบของอินทรียสาร (Organic matter content), ความสามารถในการเคลื่อนที่ของไอออน (Mobility), ความแข็งของดิน, ลักษณะพิวน้ำของดิน และปริมาณน้ำฝนในพื้นที่นั้นๆ ในระบบแรกของการได้รับผลกระทบ พนว่าฟันกรดจะเพิ่มการชะล้างในดิน เนื่องจากการเคลื่อนที่ของชัลเพตเข้ามาแทนที่ ทำให้การย่อยสลายสารอินทรีย์ของแบคทีเรียและราในดินลดลง เมื่อเวลาผ่านไปการชะล้างในดินจะเกิดเพิ่มขึ้น จึงอาจทำให้เกิดการสูญเสียสารที่เป็นค่าไปจากดินได้ นอกจากนั้นยังเกิดผลกระทบต่อกลุ่มทรัพย์ในดิน คือ ฟันกรดจะมีผลต่อกระบวนการ Ammonification ทำให้เกิดการลดลงของแอมโมเนียม ซึ่งเป็นสารบัฟเฟอร์ ทำให้ความเป็นกรดในดินเพิ่มสูงขึ้น และยังพบว่า ที่ pH 3.6 และ 4.7 จะไม่พบกิจกรรมของ Free living bacteria ซึ่งเกี่ยวข้องกับกระบวนการ Nitrogen fixation จึงแสดงให้เห็นว่า ฟันกรดทำให้กระบวนการ Nitrogen mineralization ลดลง

#### 2.1.4.3 ผลกระทบต่อแหล่งน้ำ

ผลกระทบต่อแหล่งน้ำจะขึ้นอยู่กับค่าความเป็นค่างหรือ Acid neutralizing capacity (ANC) ของน้ำในแหล่งน้ำนั้น ซึ่งพบว่าน้ำที่มีแคลเซียมน้อยกว่า 2.5 mg/l จัดว่าเป็นแหล่งน้ำที่มีความไวต่อกรด และยังขึ้นกับระยะเวลาที่พิวน้ำของน้ำสัมผัสกับฟันกรดที่ตกลงมาด้วย ความเสียหายที่เกิดขึ้นจากฟันกรดมีหลายอย่าง เช่น ทำให้ค่า pH ของน้ำลดลง สรุปให้สิ่งมีชีวิต หลากหลาย เช่น สัตว์น้ำขนาดเล็กที่อาศัยอยู่ตามท้องน้ำ (Benthic invertebrates) ลดลง มีการเจริญเติบโตไม่สมบูรณ์ และบางชนิดถึงกับตายไป นอกจากนั้น โลหะหนัก เช่น อะลูมิเนียม นิกเกิล และทองแดง ซึ่งปกติพบได้ตามชอกหินและแร่ในดิน และไม่ละลายน้ำ เกิดการละลายเนื่องจากฟันกรด เริ่กว่า เกิดการเคลื่อนย้าย (Mobilization) และลงสู่แหล่งน้ำ ทำให้เป็นพิษต่อปลาและสัตว์น้ำ อื่นๆ แล้วยังก่อให้เกิดการผิดปกติในการพัฒนาตัวอ่อนของสัตว์น้ำในระยะเยอนบริโภคด้วย

#### 2.1.4.4 ผลกระทบต่อวัสดุหรือสิ่งก่อสร้าง

สารประกอบชัลเพตจะกัดกร่อนวัสดุและสิ่งก่อสร้างต่างๆ ได้หลายชนิด เช่น หินปูน หินอ่อน หินชานวน กระเบื้องหลังคา และปูนซีเมนต์ โดยเมื่อเกิดปฏิกิริยา กับละอองชัลเพตจะก่อให้เกิดการสึกกร่อนขึ้น นอกจากนั้น สารประกอบชัลเพตซึ่งเป็นตัวเร่งให้เกิดการกัดกร่อนของโลหะ ซึ่งการกัดกร่อนนั้นจะขึ้นอยู่กับปัจจัยทางกายภาพ

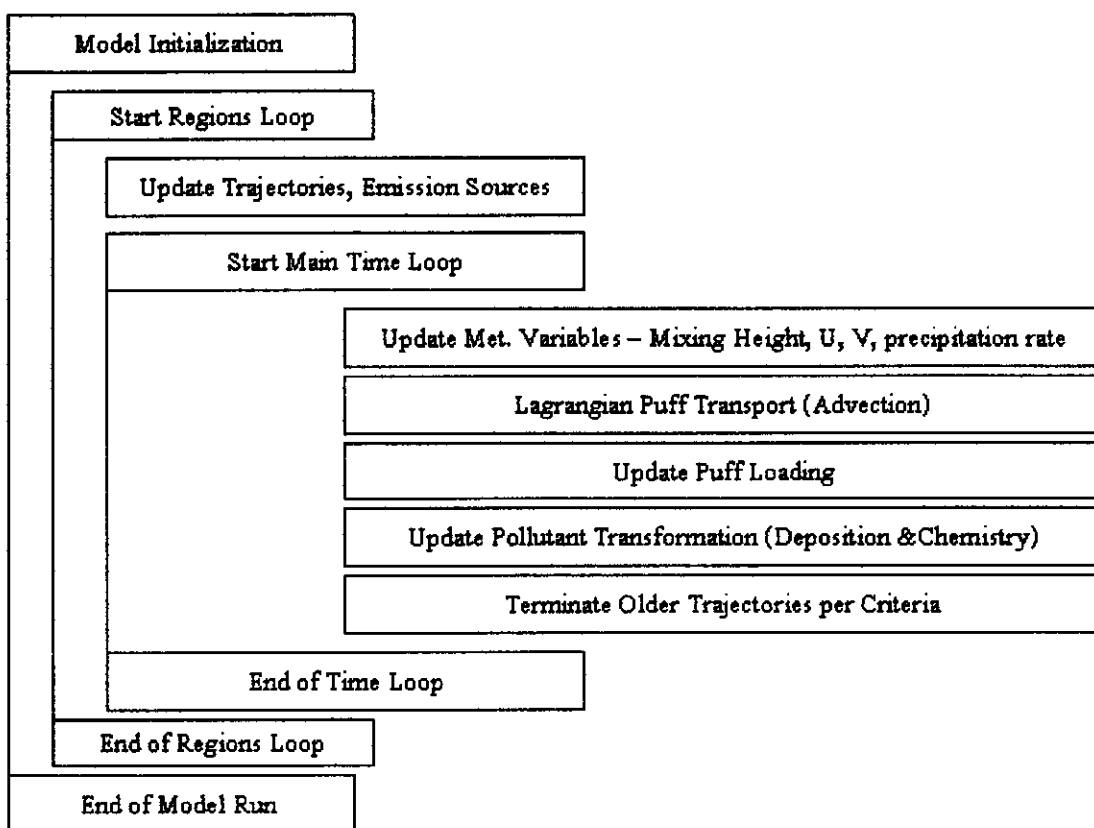
อย่าง เท่า อุณหภูมิ ความชื้นของproto โลหะและวัสดุ และระยะเวลาในการสัมผัส พนักงาน  
ทดลองของความเข้มข้นกําชีวิตเพื่อใช้ค่าในบรรยายจาก 0.15 ppm เป็น 0.05 ppm จะ  
สามารถลดอัตราการกัดกร่อนของสังกะสีลงได้ถึง 4 เท่า แต่ที่ความชื้นสัมพัทธ์สูงกว่าร้อยละ 70  
อัตราการกัดกร่อนจะเพิ่มสูงขึ้น

#### **2.1.4.5 ผลกระทบต่อร่างกายมนุษย์**

การทดสอบของกรดสั่งผลกระทบต่อสุขภาพร่างกายของมนุษย์ ผลกระทบ  
โดยตรง คือ การรับสารกรดเข้าสู่ร่างกายโดยกระบวนการหายใจ ถ้าได้รับในปริมาณไม่มากนัก จะ  
ทำให้เกิดอาการระคายเคืองต่อจมูก คอ และระบบทางเดินหายใจส่วนบน แต่เมื่อได้รับในปริมาณที่  
มากขึ้น จะทำให้เกิดอาการ ไอเรื้อรัง ทำให้เกิดโรคระบบทางเดินหายใจหรือทำอันตรายต่อปอดได้  
นอกจากนี้ยังเกิดผลกระทบทางอ้อม คือ เมื่อมนุษย์บริโภคน้ำซึ่งปนเปื้อนฝุ่นกรด หรือสตัวน้ำ  
 เช่น ปลา และพืชผลที่มีการสะสมของสารพิษจากโลหะหนัก ซึ่งเกิดขึ้นเนื่องจากสภาพความเป็น  
 กรดของแหล่งน้ำและดิน จะเป็นสาเหตุให้เกิดโรคและปัญหาต่อสุขภาพได้

#### **2.1.5 การใช้แบบจำลองทางคณิตศาสตร์ ATMOS2 ประเมินค่าปริมาณการทดสอบกรด**

ATMOS/UrBAT (Regional and Urban Branch Atmospheric Trajectory Model; ซอฟแวร์ซึ่งพัฒนาขึ้นโดย Center for Global and Regional Environmental Research, The University of Iowa, 1995) เป็นแบบจำลองสำหรับคำนวณความเข้มข้นสารมลพิษในบรรยาย  
 และปริมาณการทดสอบของสารมลพิษลงสู่พื้นโลก พัฒนามาจากแบบจำลอง BAT (Branch  
 Atmospheric Trajectory; ซอฟแวร์ซึ่งพัฒนาขึ้นโดย The USA National Oceanic Atmospheric  
 Administration, 1983) และ RAINS-Asia (The Regional Air Pollution Information System for  
 Asia; ซอฟแวร์ซึ่งพัฒนาขึ้นโดย The International Institute of Applied Systems Analysis,  
 Laxenburg, Austria: IIASA) เพื่อให้มีความเหมาะสมกับการใช้ตรวจสอบการทดสอบของกรดใน  
 ภูมิภาคเอเชียมากยิ่งขึ้น ตัวโปรแกรมเป็นภาษา Fortran ใช้งานบน Linux สามารถดาวน์โหลดได้จาก  
<http://www.cgter.uiowa.edu/ATMOS/atmos-urbat-linux>

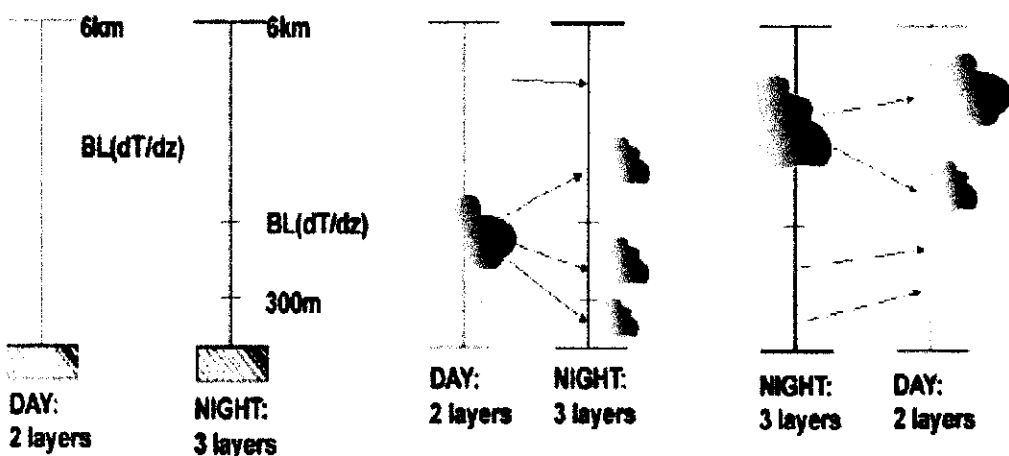


ภาพที่ 4 ไอดิโอแกรมแสดงรูปแบบการทำงานของแบบจำลอง ATMOS2

ATMOS2 เป็นเวอร์ชัน 2 ของ ATMOS/UrBAT เป็นแบบจำลองชนิด Multi-layers forward trajectory lagrangian puff-transport model ใช้งานบน Unix/Linux โดยกำหนดให้สารมลพิษ (ก๊าซชัลฟอร์โคลอกไซค์) เปริยบเสมือนมวลสารเป็นก้อน (Puff) ถูกปล่อยออกจากแหล่งกำเนิดทุกๆ 3 ชั่วโมง เคลื่อนที่ไปในอากาศตามเงื่อนไขทางอุตุนิยมวิทยา และทำการติดตามการเคลื่อนที่ของก้อนมวลสารไปจนกว่าจะคงลงสู่พื้นดิน ซึ่งก็คือภายในระยะเวลา 120 ชั่วโมง หรือความเข้มข้นมวลสารเหลืออยู่ 0.1% ของตอนเริ่มต้น แบ่งระดับชั้นบรรยากาศเป็น 2 ชั้น ในเวลากลางวัน คือ Boundary/Upper layer และ 3 ชั้น ในเวลากลางคืน Surface/Boundary/Upper layer ดังแสดงในภาพที่ 5 กำหนดความสูงมากสุดของก้อนมวลสารในแบบจำลองเท่ากับ 6,000 เมตร โดยที่ในชั้นบรรยากาศเดียวกันมวลสารจะผสมผสานเป็นเนื้อเดียวกันในแนวตั้ง ลักษณะการกระจายตัวของก้อนมวลสารในชั้นบรรยากาศต่างๆ ในเวลากลางวันและกลางคืน เป็นดังแสดงในภาพที่ 6

Day	Night	6000m
Upper	Upper	
<b>Critical Inversion Layer</b>		
Boundary	Boundary	
		300m
	Surface	

ภาพที่ 5 แสดงโครงสร้างของระดับชั้นบรรยากาศที่เกิดการแพร่กระจายของซัลเฟอร์



ภาพที่ 6 กลไกการกระจายตัวของก้อนมวลสารในชั้นบรรยากาศต่างๆ

การเคลื่อนที่ของก้อนมวลสาร แบ่งออกเป็น 2 ชนิด ได้แก่ การเปลี่ยนแปลงคุณลักษณะทางเคมี ในที่นี่คือการเปลี่ยนจาก  $\text{SO}_2$  กลายเป็น  $\text{SO}_4^{2-}$  และการตกตะกอนสะสม ซึ่งเกิดได้ 2 แบบ คือ การตกสะสมแห้ง (Dry deposition) อัตราการตกสะสมขึ้นอยู่กับความเร็วการตกสะสมและความสูงตำแหน่งก้อนมวลสาร มีค่าดังสมการ

$$R_d = \frac{v_d}{z} \quad (37)$$

และการตกสะสมเปียก (Wet deposition) ซึ่งอัตราการตกสะสมขึ้นอยู่กับ Precipitation scavenging coefficient และปริมาณน้ำฝน มีค่าดังสมการ

$$R_w = S_p \times p \quad (38)$$

ค่าอัตราการตกสะสมของกรดเปียกและกรดแห้งซึ่งใช้สำหรับแบบจำลอง ATMOS2 มีค่าดังแสดงในตาราง 2 และ 3 ตามลำดับ ส่วนค่าอัตราการเปลี่ยนแปลงทางเคมีของ  $\text{SO}_2$  เป็น  $\text{SO}_4^{2-}$  เป็นดังแสดงในตาราง 4 (ที่มา : CGRER, The University of Iowa, Dec, 2001 )

ตาราง 2 ค่าอัตราการตกสะสมของกรดเปียกสำหรับแบบจำลอง ATMOS2

Variable Name	(Scavenging Rate, per sec) (precipitation rate, mm hr)
$\text{SO}_2$	$(2.0 \times 10^{-5}) \times \text{precipitation rate}$
$\text{SO}_4$	$(5.0 \times 10^{-5}) \times (\text{precipitation rate})^{0.83}$
$\text{PM}_{10}$	$(7.0 \times 10^{-5}) \times \text{precipitation rate}$
$\text{PM}_{2.5}$	$(6.0 \times 10^{-5}) \times (\text{precipitation rate})^{0.83}$

ตาราง 3 ค่าอัตราการตกสะสมของกรดแห้งสำหรับแบบจำลอง ATMOS2

Variable Name	Deposition rate (m/sec)
$\text{SO}_2$ (over land)	$2.5 \times 10^{-3}$ : months between May and September (hot season) $1.25 \times 10^{-3}$ : the rest of the year (cold season)
$\text{SO}_2$ (over water bodies)	$3.2 \times 10^{-3}$
$\text{SO}_4$ (over land)	$2.0 \times 10^{-3}$
$\text{SO}_4$ (over water bodies)	$1.0 \times 10^{-3}$
$\text{PM}_{10}$ (over land)	$7.0 \times 10^{-3}$
$\text{PM}_{10}$ (over water bodies)	$7.0 \times 10^{-3}$
$\text{PM}_{2.5}$ (over land)	$2.0 \times 10^{-3}$
$\text{PM}_{2.5}$ (over water bodies)	$1.0 \times 10^{-3}$

**ตาราง 4 ค่าอัตราการเปลี่ยนแปลงทางเคมีของ  $\text{SO}_2$  เป็น  $\text{SO}_4^{2-}$**

Variable Name	Conversion rate (per sec)
f_lat	$\text{Cos}(1.3 \times \text{lat} \times \pi/180)$
f_day	$\text{Sin}((\text{Julian day} - 80) \times 2\pi/365)$
rate	$(1 \times 10^{-5}) \times f_{\text{lat}} + (4 \times 10^{-6}) \times (1-f_{\text{lat}}) \times f_{\text{day}}$

ข้อมูลการปลดปล่อยสารมลพิษ (Emission) กำหนดตามตำแหน่งที่ตั้งของแหล่งกำเนิดนอกพิกัดเป็นละติจูด (latitude) และลองจิจูด (longitude) เป็นข้อมูลจากงานวิจัยของ D.G. Streets และคณะ (2003) ซึ่งดาวโหลดได้จาก [www.cgrer.uiowa.edu/EMISSION \\_DATA/index\\_16.htm](http://www.cgrer.uiowa.edu/EMISSION_DATA/index_16.htm) แบ่งประเภทของแหล่งกำเนิดออกเป็น 3 ชนิด คือ Area sources ได้แก่ โรงงานอุตสาหกรรมขนาดเล็ก เตาเผา หม้อไอน้ำ และหัวดยานพาหนะ ถูกปลดปล่อยอยู่ Boundary/Surface layer , Large point sources ได้แก่ โรงงานอุตสาหกรรมขนาดใหญ่ จะถูกปลดปล่อยอยู่ Upper/Boundary layer และ Volcanic sources จะถูกปลดปล่อยอยู่ Upper layer ดังแสดงในตาราง 5

**ตาราง 5 ชนิดของแหล่งกำเนิดซัลเฟอร์และระดับชั้นบรรยากาศที่สารมลพิษสะสมอยู่**

Emission Source Type	Layer of Emission	
	Daytime	Nighttime
Large Point Source	Upper Layer	Boundary Layer
Area Source	Boundary Layer	Surface Layer
Volcano	Upper Layer	Upper Layer

ข้อมูลอุดหนุนยมวิทยาสำหรับแบบจำลองนี้ เป็นข้อมูลจาก NCEP/NCAR (National Center for Environmental Prediction/National Center for Atmospheric Research) ซึ่งพัฒนาขึ้นเพื่อใช้สำหรับแบบจำลองทางค้านบรรยากาศโดย Dr. Giuseppe Calori จากข้อมูลงานวิจัยของ Ms. Narisara Thongbooncho จาก The University of Iowa โดยข้อมูลนี้จะถูกนำมาเป็นข้อมูลราย 6 ชั่วโมง ที่ตำแหน่งกริด  $2.5^\circ \times 2.5^\circ$  ประกอบด้วยข้อมูล 3 ประเภท คือ ข้อมูลปริมาณน้ำฝน ข้อมูล

ความรีวและทิศทางลม และข้อมูล Mixing height สำหรับข้อมูลของทวีปเอเชียโดยคำนวณได้จาก <http://www.cgrer.uiowa.edu/ATMOS/metdata>

ผลที่ได้จากแบบจำลอง คือ ค่าความเข้มข้นเฉลี่ยทุก 3 ชั่วโมง ของชั้บท่อริโคลอกไซด์ และซัลเฟตในบรรยากาศ และค่าปริมาณการทดสอบสมของกรดเนื่องจากชั้บท่อริ ทั้งแบบเปียกและแบบแห้ง ในช่วงเวลาต่างๆ ที่ตำแหน่งกริด  $1^\circ \times 1^\circ$  ดังนั้นมีอثرตามตำแหน่งพิกัดของพื้นที่ศึกษา (latitude & longitude) จึงสามารถทราบค่าความเข้มข้นและปริมาณการทดสอบสมของสารกรดได้

## 2.2 งานวิจัยที่เกี่ยวข้อง

### 2.2.1 งานวิจัยต่างประเทศ

Whelpdale et al., 1997 ทำการติดตามตรวจสอบค่าการทดสอบสมของกรดทั้งแบบเปียกและแบบแห้ง ในพื้นที่ในส่วนต่างๆ ทั่วโลก พบว่า ค่าปริมาณการทดสอบกรดเปียกของ  $\text{NO}_3^-/\text{SO}_4^{2-}$  เป็นดังแสดงในตาราง 6 ซัลเฟตที่ตรวจพบส่วนใหญ่จะอยู่ในกลุ่มพื้นที่ประกอบด้วย[อุตสาหกรรมหนักในทวีปยุโรป](#) แอนโนไมเนียมพบมากในกลุ่มประเทศทางแถบเอเชียตะวันออกเฉียงใต้ และเคลเซียมจะพบมากในประเทศที่มีปริมาณฝุ่นมาก เช่น ประเทศจีน ส่วนค่าปริมาณการทดสอบสมของกรดแห้งของซัลเฟตและในเขต แสดงดังตาราง 7 และ 8 ตามลำดับ โดยในการพิจารณาค่าปริมาณการทดสอบ จะขึ้นอยู่กับค่าความรีวการทดสอบ ซึ่งขึ้นอยู่กับลักษณะทางดุลยนิยมวิทยาสภาพอากาศ และลักษณะภูมิประเทศของแต่ละประเทศ

ตาราง 6 ค่าอัตราส่วนเชิงโมล  $\text{NO}_3^-/\text{SO}_4^{2-}$  ของการทดสอบกรดเปียก

Location	$\text{NO}_3^-/\text{SO}_4^{2-}$ (mol/mol)
Europe	
Western Europe	1.0-1.2
Eastern Europe	< 1.0
Northern Europe	< 1.0
North America	
Average	~ 1.0
Northeast, winter and snow	~ 2.0
Former Soviet Union	
Eastern, range and median	0.6 – 0.9, 0.7

### ຕາງໝາຍ 6 (ຕອ)

Location	$\text{NO}_3^-/\text{SO}_4^{2-}$ (mol/mol)
Northern and central, range and median	0.1 – 0.3, 0.4
South-central, range and median	0.6 – 1.4, 0.8
Middle East	
Israel	~ 0.1
Arabian, largest cities	~ 1.7
Southeast Asia	
Japan, range and median	0.5 – 1.3, 0.8
Japan, large cities	> 1.0
Korean	~ 0.6
China	
Northern, average	0.4
South, average	0.2
Background, average	0.1
Hongkong, range and median	0.2 – 1.0, 0.4
India, median	~ 0.4
Austria	~ 1.5
New Zealand	~ 0.2
South America	
Brazil, median	0.7
Venezuela, median	2
Other	0.8
Africa	
Arid savannah	~ 1
Humid savannah and rain forest	~ 2
Polar Regions	
Greenland	~ 1
Arctic	~ 0.5
Antarctic	~ 1
Oceans	~ 1

ນີ້ມີ : Whelpdale et al., 1997

### ตาราง 7 ค่าการตกสะสมครุภัณฑ์ของซัลเฟต และร้อยละของการตกสะสม

Sources	Dry deposition (mmol/m <sup>2</sup> .yr)	Dry/Total deposition (%)
North America (non urban location)	-	30-50
Canada	-	20-40
Europe	-	60-70
Germany (population and industrial area)	50	> 60
Southern Norway	5	20
Japan	3-45	10-50
Korean	3-45	30
China		
Residual area	250	70-80
Rural or Mountain sites	50	45
Hongkong	47	40-75
India (cities)	95	2/3 of total
Malaysia (urban/industrial location)	20	30
Soviet Union (Kola Peninsula)	> 9	50
Australia (Few industrial & population location)	> 15	70-85
South America (Savannah & Amazon forest)	> 1	< 15
Africa		
Arid savannah	1	35
Humid savannah	1	20
Rain forest	1	< 10
Marian Regions	0.06-0.25	50

ที่มา : Whelpdale, 1997

Matsuda et al.,1999 ได้ศึกษาการตกสะสมของกรดแบบแห้ง โดยเก็บตัวอย่างด้วยวิธี Denuder และ Filter pack แล้วทำการวิเคราะห์ค่าความเข้มข้นของ SO<sub>2</sub>, HNO<sub>3</sub>, Sulfate และ Nitrate ทั้งจากก๊าซและ Aerosols ในช่วงเดือนกรกฎาคม-ธันวาคม ปี 1998 และประเมินค่าปริมาณการตกสะสมกรดจากค่าความเร็วการตกสะสม (Deposition velocity, v<sub>d</sub>) สำหรับพื้นผิวแต่ละชนิดซึ่งเป็นจุดเก็บตัวอย่างในประเทศไทยญี่ปุ่น โดยมีพื้นที่คงต่อไปนี้คือ ป่าสน ป่าไม้ผลัดใบ พื้นที่เกษตรกรรม และพื้นผิวน้ำ โดยกำหนดค่าความสูงของพื้นผิวเหล่านี้เท่ากับ 1, 1, 0.1, 0.0001 เมตร

ตามลำดับ ค่าความเร็วการตกสะสมขึ้นอยู่กับค่าความด้านท่านในการตกลงสู่พื้นที่ร่องรับ  $r_s$ ,  $r_d$  และ  $r_c$  โดยที่  $r_s$  ขึ้นอยู่กับสภาพการคงตัวของอากาศ  $r_u$  และ  $r_c$  ขึ้นอยู่กับถูกการซึ่งมีผลต่อพื้นผิวรองรับ ซึ่งเป็นศั้นไม้ จากการศึกษาพบว่าค่า  $v_d$  สำหรับป่าสน ป่าไม้มัดดิน พื้นที่เกษตรกรรม และพื้นผิวน้ำ สำหรับ Aerosols แบบละเอียด ซึ่งมีขนาดเส้นผ่านศูนย์กลางอนุภาคน้อยกว่า  $2.5 \mu\text{m}$  มีค่าเท่ากับ  $0.45, 0.45, 0.16$  และ  $0.03 \text{ cm/s}$  ตามลำดับ และ ค่า  $v_d$  สำหรับ Aerosols แบบหยาบ ขนาดเส้นผ่านศูนย์กลางอนุภาคมากกว่า  $2.5 \mu\text{m}$  มีค่าเท่ากับ  $1.2, 1.2, 0.71$  และ  $0.22 \text{ cm/s}$  ตามลำดับ จึงสรุปว่าค่า  $v_d$  จะมีค่ามากขึ้นเมื่อความสูงของศั้นไม้หรือพื้นผิวรองรับมีค่าสูง และมีค่ามากขึ้นเมื่อขนาดของอนุภาคที่ตกลงมากขึ้นด้วย

ตาราง 8 ค่าการตกสะสมกรณีแห้งและร้อนของผลกระทบและการตกสะสม

Sources	Dry deposition (mmol/m <sup>2</sup> .yr)	Dry/Total deposition (%)
North America (non urban location)	-	30-50
Canada	-	20-40
Europe	-	20-50
Germany	30	40
Southern Norway	5	< 20
Hongkong	95	80-90
India (urban)	95	50-90
Malaysia (industrial location)	25	40
Australia	8	55-65
South America	1	< 15
Marian Regions	1	20

ที่มา : Whelpdale, 1997

Xu et al., 1999 พัฒนาแบบจำลองการตกสะสมของกรดเพื่อประยุกต์ใช้ในการวิเคราะห์เส้นทางการตกสะสมของซัลเฟอร์ในทวีปเอเชีย โดยกำหนดค่าวแทนช่วงเวลา 4 ฤดู คือ เดือนกุมภาพันธ์ เดือนเมษายน เดือนสิงหาคม และเดือนตุลาคม ผลการเปรียบเทียบการวัดความเข้มข้นของก๊าซซัลเฟอร์โดยออกไซด์ อนุภาคซัลเฟต และไอออนของซัลเฟตที่ตกสะสมแบบเปียก พบว่า การตกสะสมแบบเปียกเกิดขึ้นมากกว่าการตกสะสมแบบแห้ง โดยเฉพาะในช่วงฤดูร้อนและฤดู

ใบไม้ผลิ การทดสอบแบบเปียกของชัลเพ็คจะเกิดมากกว่าในช่วงเดือนที่อากาศแห้ง อุ่น เช่นเดือนตุลาคม โดยที่อัตราส่วนทั้งหมดของการทดสอบแบบเปียกต่อการทดสอบแบบแห้ง สำหรับเดือนกุมภาพันธ์เท่ากับ 1.6 เดือนเมษายนเท่ากับ 1.2 เดือนกันยายนเท่ากับ 2.9 และเดือนตุลาคมเท่ากับ 1.9

Lee et al.,2000 ทำการเก็บตัวอย่างน้ำฝนเป็นรายวัน ที่ 9 สถานี ในเกาหลีใต้ ตั้งแต่เดือนพฤษภาคม 1996 ถึงเดือนเมษายน 1998 แล้วทำการวิเคราะห์ค่า pH ค่าการนำไฟฟ้า และความเข้มข้นของไอออนต่างๆ คือ  $\text{SO}_4^{2-}$ ,  $\text{NO}_3^-$ ,  $\text{Cl}^-$ ,  $\text{NH}_4^+$ ,  $\text{Ca}^{2+}$ ,  $\text{Na}^+$ ,  $\text{Mg}^{2+}$  และ  $\text{K}^+$  พบว่า ความเข้มข้นเฉลี่ยของ  $\text{NO}_3^-$  และ non-seasalt  $\text{SO}_4^{2-}$  เท่ากับ 19.3 และ 43.0  $\mu\text{eq/l}$  ตามลำดับ เมื่อทำการเปรียบเทียบกับทางตะวันออกเฉียงเหนือของอเมริกา และทางตอนกลางของยุโรป พบว่า ระดับของ  $\text{H}^+$  ที่ได้ส่วนใหญ่แล้วจะมีค่าต่ำกว่า เป็นผลเนื่องจากปริมาณของแอมโมเนียมและแคลเซียมที่ทำหน้าที่เป็นตัวบัฟเฟอร์ ซึ่งเป็นส่วนประกอบหนึ่งของน้ำฝน

Fujita et al.,2000 ศึกษาส่วนประกอบทางเคมีของน้ำฝน ภายใต้ความร่วมมือกันระหว่างสถานีตรวจวัดต่างๆ ในแถบเอเชียตะวันออก ระหว่างปี 1992-1993 พบว่า ปริมาณการทดสอบแบบเปียกของไอออนที่ละลายน้ำเข้มข้นอยู่กับ 2 ปีจัยหลัก คือ ปริมาณการกระจายตัวจากแหล่งกำเนิดไอออนต่างๆ ที่เกิดขึ้นตามธรรมชาติและจากกิจกรรมต่างๆ ของมนุษย์ และเงื่อนไขทางอุตุนิยมวิทยา เช่น ทิศทางลมและรูปแบบของฝน จากการศึกษาพบว่า น้ำฝนในบริเวณพื้นที่แถบตะวันออกเฉียงเหนือของจีน ซึ่งเป็นแหล่งกำเนิดหลักของไอออนเนื่องมาจากกิจกรรมต่างๆ ของมนุษย์ มีค่า pH สูง (ความเป็นกรดต่ำ) ในขณะที่น้ำฝนในบริเวณเกาะทางตอนเหนือของแปซิฟิก ซึ่งอยู่ห่างไกลจากแหล่งกำเนิดไอออนซึ่งเกิดเนื่องจากกิจกรรมของมนุษย์ กลับมีค่า pH ต่ำ (ความเป็นกรดสูง)

Park et al.,2000 พัฒนาแบบจำลอง Seoul เพื่อใช้สำหรับการวิเคราะห์การทดสอบแบบเปียกของชัลเพ็ค ซึ่งใช้ร่วมกับข้อมูลทางอุตุนิยมวิทยาและข้อมูลการตรวจสอบคุณภาพอากาศ โดยการแบ่งชนิดของเมฆฝนตามความแตกต่างกันออกเป็น 4 ชนิด คือ Cold cloud , Warm cloud , Stratified layered cloud และ Convective cloud จากนั้นทำการวิเคราะห์ความเข้มข้นของชัลเพ็คในน้ำฝนของเมฆชนิดต่างๆ ซึ่งมีความแตกต่างกับความเข้มข้นของชัลเพ็คในอากาศ โดยทำการวิเคราะห์จาก Routinely available monitored data และ Regression equation โดยที่การวิเคราะห์ความเข้มข้นของชัลเพ็คในอากาศจะใช้ Regression equation 2 ชนิด คือ สำหรับใช้ในฤดูหนาว

และสำหรับใช้ในฤดูอื่นๆ และเมื่อนำแบบจำลองนี้มาใช้วิเคราะห์การตกลงแบบเปียกของซัลเฟตในปี 1997 พบร่วมค่าความเข้มข้นของซัลเฟตอยู่ในช่วงระหว่าง  $3450-3770 \text{ kg/km}^2 \cdot \text{yr}$  ในขณะที่ค่าได้จากการวัดเท่ากับ  $3510 \text{ kg/km}^2 \cdot \text{yr}$

Gimeno et al., 2001 ศึกษาถึงผลจากการลดการปลดปล่อย  $\text{SO}_2$  ในยุโรปและทางตะวันออกของสหรัฐอเมริกา โดยการวิเคราะห์การเปลี่ยนแปลงค่า Acidifying Potential (AP) ของการตกลงแบบเปียก ซึ่งนิยามเท่ากับ  $[\text{SO}_4^{2-}] - ([\text{Ca}^{2+}] + [\text{Mg}^{2+}])$  พบร่วมกับการลดลงของ  $\text{SO}_2$  ในอากาศไม่มีผลต่อแนวโน้มการเพิ่มขึ้นของความเป็นกรด เนื่องจากถึงแม้ว่าปริมาณซัลเฟตจะลดลง แต่มีการลดลงของ  $\text{Ca}^{2+}$  ในน้ำฝน ซึ่งทำหน้าที่เป็นตัวบัฟเฟอร์เกิดขึ้นด้วย

Network Center for EANET, 2001 ศึกษาสภาพความเป็นกรดและองค์ประกอบทางเคมีของน้ำฝน ในปี 2000 ใน 10 ประเทศ ซึ่งเป็นสมาชิกในโครงการ EANET โดยเก็บตัวอย่างน้ำฝนด้วยอุปกรณ์ Automatic wet sampler collector และวิเคราะห์ค่าความเข้มข้นของไอออนต่างๆ ด้วยวิธี Ion chromatography ผลการวิเคราะห์เป็นดังนี้ คือ

ตาราง 9 ผลการศึกษาการตกลงแบบเปียกในภูมิภาคเอเชียตะวันออก ค่าเฉลี่ยของปี 2000

Country	Char.	pH	$\text{SO}_4^{2-}$ $\mu\text{mol/l}$	$\text{NO}_3^-$ $\mu\text{mol/l}$	$\text{Cl}^-$ $\mu\text{mol/l}$	$\text{NH}_4^+$ $\mu\text{mol/l}$	$\text{Na}^+$ $\mu\text{mol/l}$	$\text{K}^+$ $\mu\text{mol/l}$	$\text{Ca}^{2+}$ $\mu\text{mol/l}$	$\text{Mg}^{2+}$ $\mu\text{mol/l}$
China										
- Guanyinqiao	Urban	4.33	152.0	42.1	24.0	161.0	11.8	14.2	63.0	8.5
- Nanshan	Rural	4.22	130.0	41.6	15.6	105.0	7.7	16.3	55.2	7.0
Indonesia										
- Jakarta	Urban	5.18	58.7	17.6	21.5	77.3	52.4	-	87.6	219.3
- Kototabang	Remote	4.51	3.7	6.2	6.8	1.1	-	-	4.0	-
Japan										
- Tappi	Remote	4.72	21.9	12.9	178.0	9.6	149.0	3.6	6.4	17.5
- Banryu	Urban	4.64	15.6	13.9	31.0	11.6	28.9	1.4	4.2	3.3
- Ijira	Rural	4.52	19.9	24.1	23.0	23.8	19.9	2.9	6.8	2.9

ตาราง 9 (ต่อ)

Country	Char.	pH	$\text{SO}_4^{2-}$ μmol/l	$\text{NO}_3^-$ μmol/l	$\text{Cl}^-$ μmol/l	$\text{NH}_4^+$ μmol/l	$\text{Na}^+$ μmol/l	$\text{K}^+$ μmol/l	$\text{Ca}^{2+}$ μmol/l	$\text{Mg}^{2+}$ μmol/l
Malaysia										
- Petaling Jaya	Urban	4.35	23.5	27.2	8.5	43.7	5.0	1.8	6.8	1.4
- Tanah Rata	Remote	4.79	4.1	3.3	6.8	41.1	1.9	1.1	2.3	0.4
Mongolia										
- Ulaanbaatar	Urban	6.26	24.3	19.9	9.0	52.0	7.9	3.9	37.7	4.1
- Terelj	Remote	5.52	16.4	17.6	9.0	44.3	6.5	4.5	15.2	3.2
Philippines										
- Metro Manila	Urban	5.48	23.4	12.1	25.6	35.5	30.6	15.5	14.5	6.3
- Los Banos	Rural	5.44	10.5	5.4	33.0	13.6	34.8	1.7	7.0	3.7
Korea										
- Kanghwa	Rural	5.00	31.6	42.4	54.9	37.6	56.3	5.6	26.5	9.3
- Cheju	Remote	4.85	23.2	15.3	210.0	20.2	152.0	6.3	13.8	18.6
Russia										
- Irkutsk	Urban	5.11	30.1	21.0	11.6	32.1	8.8	4.4	28.0	5.0
- Listvyanka	Rural	5.07	15.4	18.7	5.0	16.5	4.6	4.7	12.8	2.9
Thailand										
- Bangkok	Urban	4.95	21.6	21.6	12.6	41.3	6.9	3.2	11.4	2.0
- Patumthani	Rural	5.25	19.6	18.6	10.4	38.3	10.9	2.3	13.2	2.4
Vietnam										
- Hanoi	Urban	5.45	30.1	16.1	24.3	27.5	18.1	4.1	20.9	5.0
- Hoa Binh	Rural	5.11	16.3	9.7	20.3	8.0	12.7	3.6	13.1	4.7

ที่มา : Network Center for EANET, 2001

Streets et al.,2003 ได้ศึกษาค่าปริมาณการปลดปล่อยสารมลพิษทางอากาศในทวีปเอเชีย ในปี 2000 เพื่อพัฒนามาใช้กับแบบจำลองทางคณิตศาสตร์ของการแพร่กระจายสารในบรรยากาศ และการวิเคราะห์ TRACE-P โดยการร่วมมือกันระหว่างองค์กร NASA (National Aeronautics and Space Administration) กลุ่ม ACE-Asia ซึ่งเป็นส่วนหนึ่งของ NSF (National Science Foundation) และ NOAA (National Oceanic and Atmospheric Administration) โดยประเมินค่าการปลดปล่อย

สารน้ำมันพิษจากแหล่งไฟฟ้า ที่เกิดจากกิจกรรมของมนุษย์ รวมทั้ง Biomass burning ใน 64 ประเทศ ของทวีปเอเชีย ได้ดังต่อไปนี้ คือ มีปริมาณการปลดปล่อยสาร  $\text{SO}_2$ ,  $\text{NO}_x$ ,  $\text{CO}_2$ ,  $\text{CO}$ ,  $\text{CH}_4$ , NMVOC, Black carbon (BC), Organic carbon (OC) และ  $\text{NH}_3$  มีค่าเท่ากับ 34.3, 26.8, 9870, 279, 107, 52.2, 2.54, 10.4 และ 27.5 Tg ตามลำดับ โดยที่ NMVOC ซึ่งแบ่งออกได้อีก 19 กลุ่มย่อย ตามชนิดที่มาของการทำปฏิกิริยา จึงสามารถแยกแหล่งที่มาหลักและชนิดของก๊าซหรืออนุภาคที่เป็นสารน้ำมันพิษได้ตามกิจกรรมใด ตามการวิเคราะห์ TRACE-P และ วิธีการวัดของ ACE-Asia จากการศึกษาพบว่าประเทศไทยเป็นแหล่งกำเนิดหลักของการปลดปล่อยสารน้ำมันพิษ มีค่าปริมาณสารที่ปลดปล่อยเป็นดังนี้ คือ มีการปลดปล่อย  $\text{SO}_2$ ,  $\text{NO}_x$ ,  $\text{CO}_2$ ,  $\text{CO}$ ,  $\text{CH}_4$ , NMVOC, BC, OC และ  $\text{NH}_3$  เท่ากับ 20.4, 11.4, 3820, 116, 38.4, 17.4, 1.05, 3.4 และ 13.6 Tg ตามลำดับ ในการบอกร่องด้าน แหล่งกำเนิดสาร จะใช้การบอกร่องด้วยตัวชี้วัด ค่าหัวรับแหล่งกำเนิดชนิด LPS และใช้การบอกร่องด้านวิธีการวัดการกระจายแบบ Surrogate GIS สำหรับแหล่งกำเนิดประเภทอื่นๆ เช่น แหล่งอาศัยของประชากรทั้งในเมืองและในชนบท ถนนทั้งสายหลักและสายย่อย และเรือ เป็นต้น การบอกร่องด้านของการปลดปล่อยสารน้ำมันพิษนี้มีความสำคัญมากต่อข้อมูลเบื้องต้น (Input data) ในการศึกษา เปรียบเทียบ และสังเคราะห์ในการใช้แบบจำลองทางคณิตศาสตร์เกี่ยวกับบรรยายกาศ โดยที่ค่าปริมาณการปลดปล่อยสารน้ำมันพิษออกสู่บรรยากาศนี้จะเป็นค่าโดยประมาณ ที่มีการจัดทำขึ้นปีละครั้ง ในช่วงเดือนมีนาคม-เมษายน ค่าเปลอร์เซ็นต์ความไม่แน่นอนของข้อมูลการปลดปล่อยสารต่างๆ เหล่านี้ มีค่าเท่ากับ 95% โดยมีค่าพิสัยแตกต่างกัน มีค่าเปลอร์เซ็นต์ความไม่แน่นอนต่ำสุดในการวัด  $\text{SO}_2$  มีค่าเท่ากับ  $\pm 16\%$  และมีค่าเปลอร์เซ็นต์ความไม่แน่นอนสูงสุดในการวัด OC มีค่าเท่ากับ  $\pm 450\%$

## 2.2.2 งานวิจัยในประเทศไทย

Granat et al., 1995 ได้ศึกษาภายใต้โครงการร่วมกันระหว่าง ไทย – สวีเดน ภายใต้กรอบการทำงานของโครงการ IGAC/DEBITS ทำการเก็บตัวอย่างน้ำฝนด้วยอุปกรณ์ Automatic wet only collector เพื่อวิเคราะห์ปริมาณความเข้มข้นของไอออนต่างๆ ซึ่งเป็นองค์ประกอบของทางเคมีของน้ำฝน ที่ 2 สถานี คือ เชื่อมศรีนครินทร์ ซึ่งตั้งอยู่ทางภาคตะวันตก และเชื่อมน้ำปิง ซึ่งตั้งอยู่ทางภาคตะวันออก กำหนดเป็นตัวแทนพื้นที่ในແຄบชนบทของประเทศไทย เป็นรายวัน ตั้งแต่กลางปีจนถึงปี 1991 พบว่า ข้อมูลที่ได้มีการเปลี่ยนแปลงขึ้นๆ ลงๆ ในแต่ละวัน เป็นผลเนื่องจาก การเปลี่ยนแปลงทิศทางการเคลื่อนที่ และการกระจายของแหล่งกำเนิดมลสารในอากาศ ในวันที่ปริมาณน้ำฝนน้อย จะมีความเข้มข้นของไอออนต่างๆ น้อยกว่าวันที่ปริมาณน้ำฝนมาก

ปริมาณความเข้มข้นของไอออนของทั้ง 2 สถานี มีความคล้ายคลึงกัน แต่ไม่มีความสัมพันธ์กันระหว่างวันที่ทำการเก็บตัวอย่าง เป็นผลเนื่องจากระยะห่างระหว่าง 2 สถานี ซึ่งอยู่ไกลกันถึง 500 กิโลเมตร และมีความสัมพันธ์ซึ่งกันระหว่างความเข้มข้นของไอออน คือ ระหว่าง  $H^+$  และ  $SO_4^{2-}$  ระหว่าง  $Na^+$ ,  $Cl^-$ ,  $Mg^{2+}$  และ  $Ca^{2+}$  และระหว่าง  $NH_4^+$  และ  $NO_3^-$  ตัวอย่างส่วนใหญ่จะมีความเป็นกรดเพียงเล็กน้อย ซึ่งเป็นผลเนื่องมาจากความไม่สมดุลของค่าความเข้มข้นต่างๆ เหล่านี้

วินัย สมบูรณ์, 2539 ได้ตรวจวัดค่าความเป็นกรดของน้ำฝนและคุณภาพน้ำฝนในกรุงเทพมหานครและปริมณฑล โดยการเก็บตัวอย่างน้ำฝนในช่วงฤดูฝนของปี พ.ศ. 2536 ด้วยการวางแผนตั้งพลาสติกรับน้ำฝนกางทางแข็ง โดยในการเก็บตัวอย่างแต่ละครั้งได้แบ่งการเก็บน้ำฝนออกเป็น 3 ตัวอย่าง คือ ตัวอย่างน้ำฝนในช่วง 5 นาทีแรก ในช่วง 15-20 นาทีแรก และในช่วง 30-60 นาทีแรก น้ำที่ได้ปริมาตร 1 ลิตร ผลการวิเคราะห์พบว่า น้ำฝนมี pH ค่าต่ำกว่า 5.6 และเมื่อเวลาผ่านไป 15-20 นาที น้ำฝนมีค่า pH สูงขึ้น เนื่องจากสารมลพิษต่างๆ ถูกชะล้างออกจากบรรจุภัณฑ์แล้ว และโดยภาพรวมของคุณภาพน้ำฝนนั้นมีลักษณะเป็นฝนกรด มีระดับของตะกั่วและแคนเดเมียมสูง เมื่อนำมาเปรียบเทียบกับเกณฑ์คุณภาพน้ำดื่มของกรมอนามัยโลก พบว่าไม่เหมาะสมสำหรับการนำไปดื่มน้ำหรือน้ำไปประกอบอาหาร ค่า pH และค่าความเข้มข้นของไอออนต่างๆ เป็นดังแสดงในตาราง 10

ตาราง 10 คุณภาพน้ำฝนเฉลี่ยในกรุงเทพฯ และปริมณฑลที่ตรวจวัดในปี พ.ศ. 2536

ชุดเก็บ ตัวอย่าง	จำนวนครั้ง ที่ฝนตก	pH		โซเดียม $SO_4^{2-}$ (ppm)	คลอร์ไรด์ $Cl^-$ (ppm)	แคนเดเมียม $Cd^{2+}$ (ppm)	ตะกั่ว $Pb^{2+}$ (ppm)	zinc $Zn^{2+}$ (ppm)
		0-5 นาที	15-20 นาที					
1	5	4.6	5.1	83.2	1.8	11.7	160.5	51.5
2	2	4.6	4.7	128.7	4.2	21.6	193.8	83.1
3	1	4.6	5.0	107.6	4.6	40.1	173.4	77.4
4	1	4.7	5.0	179.6	0.5	23.1	193.8	115.6
5	1	5.0	6.1	18.0	3.4	73.4	571.2	105.4
6	1	5.8	5.0	86.0	1.6	42.2	350.2	59.4
7	1	4.7	5.5	138.3	3.2	23.8	183.6	40.1
8	1	5.5	5.5	249.8	2.8	27.9	370.6	115.6
9	1	5.3	5.8	107.6	4.6	6.9	122.4	66.0

ที่มา : วินัย สมบูรณ์, 2539

ศูนย์วิจัยและฝึกอบรมด้านสิ่งแวดล้อม (ERTC), 2542 ได้ตรวจวัดองค์ประกอบทางเคมีของน้ำฝน โดยใช้หลักเกณฑ์ของ EANET โดยเก็บตัวอย่างน้ำฝนด้วยอุปกรณ์ Automatic wet-dry sampler collector และเก็บตัวอย่าง Wet-dry deposition ด้วย Bulk collector ในช่วงเดือนกรกฎาคม – ตุลาคม พ.ศ. 2542 และวิเคราะห์ค่าความเข้มข้นของ ไอออนต่างๆ ด้วยวิธี Ion chromatography ผลการวิเคราะห์ด้วยข้อมูลทางสถิติพบว่าค่าความเข้มข้นของ ไอออนต่างๆ ในน้ำฝนมีความถูกต้องในการตรวจวัด  $\pm 15\%$  ยกเว้นแคลเซียม ไอออน ซึ่งค่าที่ตรวจวัดได้มีปัญหานៅองมาจากการภาพของน้ำ Deionized ที่ใช้ในกระบวนการวิเคราะห์ตัวอย่าง และพบว่าค่า pH ของน้ำฝนมีค่าเฉลี่ยเลขคณิตเท่ากับ 5.12 โดยมีค่าต่ำกว่า 5.0 ถึง 42% ผลการวิเคราะห์ค่าองค์ประกอบทางเคมีของตัวอย่างน้ำฝนเป็นดังตาราง 11

ตาราง 11 ค่าองค์ประกอบทางเคมีเฉลี่ยของน้ำฝนที่วัดได้ที่ ERTC ในปี พ.ศ. 2542

Sample	$\text{Na}^+$ ( $\mu\text{eq/l}$ )	$\text{NH}_4^+$ ( $\mu\text{eq/l}$ )	$\text{K}^+$ ( $\mu\text{eq/l}$ )	$\text{Mg}^{2+}$ ( $\mu\text{eq/l}$ )	$\text{Ca}^{2+}$ ( $\mu\text{eq/l}$ )	$\text{Cl}^-$ ( $\mu\text{eq/l}$ )	$\text{NO}_3^-$ ( $\mu\text{eq/l}$ )	$\text{SO}_4^{2-}$ ( $\mu\text{eq/l}$ )	pH	EC ( $\mu\text{S/cm}$ )
Bulk	16.46	32.27	3.19	7.23	48.09	12.63	25.43	47.58	5.24	18.02
Wet	11.03	43.02	2.99	4.13	29.49	12.28	25.77	55.93	5.06	19.76

ที่มา : ERTC, 2542

เนوارัตน์ รักษาการ, 2544 ศึกษาการทดสอบของสารกรดในจังหวัดสงขลา ซึ่งเป็นพื้นที่ภาคใต้ของประเทศไทย โดยทำการเก็บตัวอย่างการทดสอบแบบเปียกด้วยอุปกรณ์ Wet only collector และเก็บตัวอย่างการทดสอบแบบแห้งด้วยอุปกรณ์ 4-Stage filter pack พบว่า น้ำฝนมีค่า pH เนลลี่ในช่วง 12 เดือน เท่ากับ 5.6 เมื่อพิจารณาค่าความเข้มข้นของ ไอออนที่ทำการตรวจวัดพบว่า  $\text{Na}^+$  มีปริมาณสูงสุด เท่ากับ  $23.9 \mu\text{eq/l}$  รองลงมาได้แก่  $\text{Cl}^-$ ,  $\text{NH}_4^+$ ,  $\text{SO}_4^{2-}$ ,  $\text{Ca}^{2+}$ ,  $\text{Mg}^2$ ,  $\text{NO}_3^-$  และ  $\text{K}^+$  มีค่าเท่ากับ  $23.4$ ,  $16.1$ ,  $14.1$ ,  $16.2$ ,  $12.2$ ,  $8.8$ ,  $7.5$  และ  $3.1 \mu\text{eq/l}$  ตามลำดับ อัตราส่วนของ  $\text{NO}_3^-/\text{SO}_4^{2-}$  เท่ากับ  $0.58$  แสดงว่าความเป็นกรดของน้ำฝนเกิดจากสารประกอบชั้ลเฟอร์มานมากกว่าสารประกอบในไครเรน สัดส่วนของ  $(\text{Ca}^{2+}, \text{Mg}^2, \text{NH}_4^+)/(\text{NO}_3^-, \text{SO}_4^{2-})$  เท่ากับ  $2.03$  แสดงว่า  $\text{Ca}^{2+}$ ,  $\text{Mg}^2$  และ  $\text{NH}_4^+$  ทำหน้าที่เป็นบัฟเฟอร์ไอออน ทำให้น้ำฝนถูกทำให้เป็นกลาง ปริมาณการทดสอบของสารกรดเปียก  $\text{SO}_4^{2-}$  และ  $\text{NO}_3^-$  เท่ากับ  $21.8$  และ  $11.2 \text{ meq/m}^2 \cdot \text{yr}$  จากการศึกษาการทดสอบแบบแห้ง พบว่า ความเข้มข้นของก๊าซ  $\text{NH}_3$  ในบรรยากาศมีค่าเฉลี่ยสูงสุด เท่ากับ  $138.7 \text{ nmol/m}^3$  รองลงมาได้แก่ ก๊าซ  $\text{HCl}$ ,  $\text{SO}_2$  และ  $\text{HNO}_3$  มีค่าเฉลี่ยเป็น  $49.1$ ,  $18.5$  และ  $11.6 \text{ nmol/m}^3$  ตามลำดับ ความเร็วการทดสอบของก๊าซ  $\text{SO}_2$  และ  $\text{HNO}_3$  เท่ากับ  $0.33$  และ  $0.46 \text{ cm/s}$  ปริมาณ

การทดสอบของสารกรดแห้ง  $\text{SO}_2$  และ  $\text{HNO}_3$  เท่ากับ 5.27 และ  $4.62 \mu\text{mol/m}^2\text{.day}$  เมื่อทำการเปรียบเทียบปริมาณการทดสอบของสารกรดเปียกและสารกรดแห้ง พบว่า ปริมาณการทดสอบของสารกรดเปียกสูงกว่าสารกรดแห้งประมาณ 6 เท่า ผลการวิเคราะห์ค่าปริมาณการทดสอบกรดเป็นดังแสดงในตาราง 12

ตาราง 12 ค่าปริมาณการทดสอบกรดบริเวณพื้นที่จังหวัดสงขลาปี 2544

สารกรด	การทดสอบเปียก ( $\text{mg}/\text{m}^2\text{.yr}$ )	การทดสอบแห้ง ( $\text{mg}/\text{m}^2\text{.yr}$ )
การทดสอบของซัลเฟอร์	349.4	61.5
การทดสอบของไนโตรเจน	157.0	23.6
รวม	506.4	85.1

ที่มา : แนวรัฐน์ รักษาการ, 2544

Japan International Cooperation Agency (JICA), 2003 จัดทำโครงการสำรวจการทดสอบของกรดที่เกิดขึ้นภายในประเทศไทย ภายใต้ความร่วมมือระหว่าง EANET, กรมควบคุมมลพิษ และ ERTC พบว่าค่า pH ของน้ำฝนที่ตรวจวัดได้ในปี 2000 เป็นดังแสดงในตาราง 13 และ มีค่าปริมาณการทดสอบของสารกรดเนื่องมาจากซัลเฟอร์ ทั้งจากค่าที่ตรวจวัดได้จริงและค่าที่ประเมินได้จากแบบจำลองทางคอมพิวเตอร์ ATMOS2 เมื่อเทียบกัน ดังแสดงในตาราง 14

ตาราง 13 ค่า pH ของตัวอย่างน้ำฝนที่ตรวจวัดได้ที่สถานีต่างๆ ในปี 2000

	OEPP	TMD	ERTC	Khao Laem	For 4 sites
Min.	3.91	4.18	4.43	5.10	3.91
Max.	6.99	6.42	6.95	6.19	6.99
Mean	5.10	5.19	6.07	5.72	5.44
Median	4.89	5.15	6.19	5.77	5.38

ที่มา : JICA, 2003

จากการประเมินสถานการณ์การทดสอบกรดในประเทศไทยด้วยแบบจำลอง ATMOS2 ยังพบอีกว่า ในปี 2000 มีการทดสอบมากสุดสำหรับพื้นที่ในเขตเมืองใหญ่ อยู่ในเขตพื้นที่จังหวัดกรุงเทพมหานครและสมุทรปราการ โดยมีค่าการทดสอบกรดเปียกเท่ากับ  $1756 \text{ mg-S/m}^2$  และมีค่า

การทดสอบกรดรวมเท่ากับ  $3329 \text{ mg-S/m}^2$  และมีการทดสอบกรดมากกว่า  $2000 \text{ mg-S/m}^2$  อยู่ในพื้นที่จังหวัดกรุงเทพมหานคร มีค่าความเข้มข้นของ  $\text{SO}_2$  ในอากาศสูงสุด  $3.89 \text{ ppb}$  ในเขตกรุงเทพมหานครและปริมณฑล เมื่อพิจารณาพื้นที่ส่วนมากของประเทศไทยซึ่งเป็นพื้นที่เขตชนบทพบว่ามีการทดสอบกรดมากสุดในพื้นที่จังหวัดฉะเชิงเทราและจังหวัดชลบุรี โดยมีค่าการทดสอบกรดเฉลี่ยเท่ากับ  $642 \text{ mg-S/m}^2$  และมีค่าการทดสอบกรดรวมเท่ากับ  $959 \text{ mg-S/m}^2$  และเมื่อใช้แบบจำลอง ATMOS2 คำนวณค่าปริมาณการทดสอบของกรดในประเทศไทยในปี 2011 พบร่วมพื้นที่ที่มีการทดสอบกรดมากสุดในเขตเมืองใหญ่ยังคงเป็นกรุงเทพมหานคร มีค่าการทดสอบลดลงจากปี 2000 มีค่าเท่ากับ  $3062 \text{ mg-S/m}^2$  แต่กลับมีค่าความเข้มข้นของ  $\text{SO}_2$  ในอากาศเพิ่มขึ้นเป็น  $4.54 \text{ ppb}$  และเมื่อพิจารณาพื้นที่ส่วนมากของประเทศไทย การทดสอบกรดยังคงมากสุดที่จังหวัดฉะเชิงเทราและจังหวัดชลบุรี มีค่าเพิ่มขึ้นเป็น  $1185 \text{ mg-S/m}^2$

ตาราง 14 ค่าปริมาณการทดสอบของกรดเนื่องจากชั้นเพอร์ที่สถานีต่างๆ ในปี 2000

	OEPP	TMD	ERTC	Khao Laem
Precipitation (mm/yr)	1144.3	975.0	941.3	881.3
Calculated ( $\text{mg-S/m}^2/\text{yr}$ )	833.0	744.2	498.8	25.7
Measured ( $\text{mg-S/m}^2/\text{yr}$ )	776.9	777.8	573.6	87.0

ที่มา : JICA, 2000

กรมควบคุมมลพิษ, 2547 ศึกษาการทดสอบของกรดในพื้นที่ต่างๆ ของประเทศไทย ในปี 2546 โดยใช้หลักเกณฑ์ของ EANET เป็นมาตรฐานในการคำนวณงาน ทำการเก็บตัวอย่างน้ำฝนด้วยอุปกรณ์ Automatic wet only collector และวิเคราะห์ค่าความเข้มข้นของไอออนต่างๆ ด้วยวิธี Ion chromatography ผลการวิเคราะห์องค์ประกอบทางเคมีของตัวอย่างน้ำฝนเป็นดังแสดงในตาราง 15 และผลการวิเคราะห์ปริมาณการทดสอบกรดเป็นดังแสดงในตาราง 16 โดยที่สถานีเก็บตัวอย่าง PCD, ERTC, VLK และ CMU คือตัวแทนของจังหวัดกรุงเทพมหานคร ปทุมธานี กาญจนบุรี (เชื่อมโยงร่วมกัน) และเชียงใหม่ ตามลำดับ

**ตาราง 15 ผลการวิเคราะห์องค์ประกอบทางเคมีของน้ำฝน**

	PCD	ERTC	VLK	CMU
pH	4.53	4.86	5.46	5.55
EC (mS/m)	1.67	1.24	0.71	0.52
SO <sub>4</sub> <sup>2-</sup> (μeq/l)	37.0	24.8	7.1	9.5
NO <sub>3</sub> <sup>-</sup> (μeq/l)	23.1	17.2	4.9	7.5
Cl <sup>-</sup> (μeq/l)	8.7	6.4	8.8	5.4
NH <sub>4</sub> <sup>+</sup> (μeq/l)	37.5	29.1	12.5	18.2
Na <sup>+</sup> (μeq/l)	7.6	4.7	10.3	3.7
K <sup>+</sup> (μeq/l)	2.6	1.2	2.0	4.5
Ca <sup>2+</sup> (μeq/l)	23.8	12.6	16.9	13.1
Mg <sup>2+</sup> (μeq/l)	4.7	2.1	4.5	4.8

ที่มา : กรมควบคุมมลพิษ, 2547

**ตาราง 16 ผลการวิเคราะห์ปริมาณการตกสะสมครด**

	PCD	ERTC	VLK	CMU
SO <sub>4</sub> <sup>2-</sup> (μeq/m <sup>2</sup> )	47541	41077	7667	6673
NO <sub>3</sub> <sup>-</sup> (μeq/m <sup>2</sup> )	29654	28437	5275	5273
Cl <sup>-</sup> (μeq/m <sup>2</sup> )	11153	10595	9490	3806
NH <sub>4</sub> <sup>+</sup> (μeq/m <sup>2</sup> )	48208	48201	13470	12776
Na <sup>+</sup> (μeq/m <sup>2</sup> )	9841	7839	11090	2598
K <sup>+</sup> (μeq/m <sup>2</sup> )	3375	1933	2178	3194
Ca <sup>2+</sup> (μeq/m <sup>2</sup> )	30573	20902	18210	9236
Mg <sup>2+</sup> (μeq/m <sup>2</sup> )	5987	3528	4809	3354

ที่มา : กรมควบคุมมลพิษ, 2547

Surapipith et al., 2003 ศึกษาการใช้แบบจำลองทางคณิตศาสตร์ ATMOS2 ซึ่งเป็นแบบจำลองการแพร่กระจายสารมลพิษในบรรยากาศระดับภูมิภาค ภายใต้ความร่วมมือระหว่างกรมควบคุมมลพิษและ JICA (Japan International Cooperation Agency) โดยใช้ข้อมูลอุตุนิยมวิทยาในช่วงละตitud 15S-60N ลองจิจูด 75E-160E ขนาดความละเอียด  $1^{\circ} \times 1^{\circ}$  ซึ่งเตรียมโดย Narisara Thongboonchu , CGRER UIowa และใช้ข้อมูลการปลดปล่อยสารมลพิษ ซึ่งแบ่งออกเป็น 3 ประเภท คือ Large point sources (LPS) Anthropogenic area sources และ Biomass burning area source จาก [http://www.cgrer.uiowa.edu/EMISSION\\_DATA/index\\_16.htm](http://www.cgrer.uiowa.edu/EMISSION_DATA/index_16.htm) ซึ่งเป็นข้อมูลที่ได้มา

รายงานวิจัยของ Streets et al., 2003 หาค่าปริมาณการตกลงสูบของกรดเนื่องจากชั้นเพอร์กายในพื้นที่ประเทศไทย ระหว่างวันที่ 1 – 31 ของเดือนมีนาคม กรกฎาคม ธันวาคม ปี 2001 และเดือนมีนาคม ปี 2002 พนวจว่าเมื่อเปรียบเทียบรูปแบบการตกลงสูบกรดภายนอกในเดือนเดียวกันของทั้ง 2 ปี จะมีความคล้ายคลึงกัน แต่ในปี 2001 มีการตกลงสูบของกรดมากกว่า มีค่าการตกลงสูบกรดเปี๊ยก และกรดแห้งเท่ากับ  $0.416$  และ  $0.067 \text{ g/m}^2$  ตามลำดับ ในขณะที่ปี 2002 มีการตกลงสูบกรดเปี๊ยก และกรดแห้งเท่ากับ  $0.155$  และ  $0.043 \text{ g/m}^2$  ตามลำดับ มีการตกลงสูบกรดเปี๊ยกมากสุดที่ตำแหน่ง  $99E-19N$  ซึ่งอยู่ในบริเวณตอนเหนือของประเทศไทย และมีการตกลงสูบกรดแห้งมากสุดที่ตำแหน่ง  $120E-23N$  ซึ่งอยู่ในบริเวณตะวันตกเฉียงใต้ของจีน และจากการศึกษาพบว่าในขณะนี้ แบบจำลองทางคณิตศาสตร์ ATMOS2 ใช้ได้กับเฉพาะการหาค่าการตกลงสูบของชั้นเพอร์กาย อนุภาค แขวนลอยชั้นเพอร์กาย และความเข้มข้นสารประกอบชั้นเพอร์กายในอากาศเพียงอย่างเดียวเท่านั้น ไม่สามารถนำมาใช้ในการคำนวณหาค่าปริมาณการตกลงสูบของสารอื่นๆ เช่น  $\text{NO}_x$ , Black Carbon, Organic Carbon และ NMVOC ได้ เนื่องจากส่วนใหญ่แล้วจะมีเฉพาะข้อมูลการปลดปล่อยสารมลพิษชนิด LPS ซึ่งขาดข้อมูลชนิด Area sources ของสารต่างๆ เหล่านี้อยู่

### 3. วัตถุประสงค์

- เพื่อศึกษาและติดตามตรวจสอบการตกลงสูบของกรด โดยการตรวจสอบคุณลักษณะทางเคมีและสภาพความเป็นกรด ในรูปแบบขององค์ประกอบทางเคมีของตัวอย่างน้ำฝนและอากาศในบริเวณพื้นที่จังหวัดสงขลา
- เพื่อวิเคราะห์และคำนวณหาค่าปริมาณการตกลงสูบของสารกรดใน 2 รูปแบบ คือ การตกลงสูบเปี๊ยก และการตกลงสูบแห้ง
- เพื่อศึกษาถึงอิทธิพลของสภาพแวดล้อม อุดหนุนวิทยา และฤดูกาล ต่อการตกลงสูบของสารกรดทั้ง 2 รูปแบบ
- เพื่อประเมินสถานการณ์การตกลงสูบของกรดในແคนพื้นที่ภาคใต้ เปรียบเทียบกับสถานการณ์การตกลงสูบของกรดโดยรวมของประเทศไทย และประเทศเพื่อนบ้านในโครงการ EANET
- เพื่อใช้เป็นข้อมูลจริงในการเปรียบเทียบกับการประเมินสถานการณ์การตกลงสูบของกรด โดยการใช้แบบจำลองทางคณิตศาสตร์ซึ่งใช้กันอยู่ในปัจจุบัน (ATMOS 2)
- เพื่อจัดเก็บไว้เป็นข้อมูลพื้นฐานสำหรับการใช้แบบจำลองทางคณิตศาสตร์ประเมินค่าปริมาณการตกลงสูบของกรด เพื่อวิเคราะห์หาค่าสภาพแวดล้อมการตกลงสูบของกรดในอนาคต

7. เพื่อตรวจสอบความถูกต้องและแม่นยำของการใช้แบบจำลองทางคณิตศาสตร์ ATMOS2 ในการประเมินสถานการณ์การติดตามสมมุติ

#### 4. ขั้นตอนการดำเนินงาน

1. รวบรวมและศึกษาข้อมูลพื้นฐานของพื้นที่ศึกษา ทางด้านลักษณะภูมิประเทศ และกำเนิดสารน้ำพิษ และข้อมูลอุตุนิยมวิทยา
2. กำหนดจุดเก็บตัวอย่าง ตามหลักเกณฑ์ข้อกำหนดของเครือข่ายติดตามตรวจสอบการติดตามสมมุติในภูมิภาคเอเชียตะวันออก
3. ดำเนินการเก็บตัวอย่างการติดตามสมมุติเปรียกและกรดแท้ แล้ววิเคราะห์ตัวอย่างที่ได้ในห้องปฏิบัติการ ควบคู่กับการตรวจสอบคุณภาพของข้อมูล
4. วิเคราะห์ข้อมูลและประเมินสถานการณ์การติดตามสมมุติของกรดบริเวณพื้นที่ศึกษา
5. ใช้แบบจำลองทางคณิตศาสตร์ ATMOS2 มาประเมินสถานการณ์การติดตามสมมุติของกรดบริเวณพื้นที่ศึกษา และเปรียบเทียบผลที่ได้จากแบบจำลองทางคณิตศาสตร์ กับข้อมูลการติดตามสมมุติในอดีตที่มีผู้ศึกษาไว้ เพื่อตรวจสอบความถูกต้องและแม่นยำของแบบจำลองทางคณิตศาสตร์นี้

#### 5. ประโยชน์ที่คาดว่าจะได้รับ

1. ทำให้ทราบถึงสถานการณ์การติดตามสมมุติของสารกรด สภาพแวดล้อมปัญหาและความรุนแรง ตลอดจนศักยภาพในการรองรับการติดตามสมมุติของกรด ในบริเวณพื้นที่จังหวัดสงขลา ซึ่งเป็นตัวแทนແน็บพื้นที่ภาคใต้ของประเทศไทย
2. ทำให้ทราบถึงอิทธิพลของพารามิเตอร์ต่างๆ ซึ่งมีผลกระทบต่อสถานการณ์การติดตามสมมุติของสารกรด
3. ทำให้ทราบถึงความถูกต้องและแม่นยำของการใช้แบบจำลองทางคณิตศาสตร์ ในการประเมินสถานการณ์การติดตามสมมุติ
4. สามารถนำไปใช้เป็นข้อมูลพื้นฐาน ในการพัฒนาแบบจำลองทางคณิตศาสตร์สำหรับการประเมินค่าปริมาณการติดตามสมมุติของกรดซึ่งใช้กันอยู่ในปัจจุบันได้
5. สามารถนำไปใช้เป็นข้อมูลพื้นฐานในการกำหนดระดับการปลดปล่อยสารน้ำพิษต่างๆ ซึ่งเป็นสาเหตุหลักของการเกิดการติดตามสมมุติของกรดได้
6. สามารถนำไปใช้เป็นข้อมูลเพื่อเป็นแนวทางในการหารือป้องกันการเกิดปัญหาฝุ่นกรดในอนาคตได้